

# ARBRES DE HURWITZ ET AUTOMORPHISMES D'ORDRE $p$ DES DISQUES ET DES COURONNES $p$ -ADIQUES FORMELS

YANNICK HENRIO

Laboratoire de Mathématiques Pures de Bordeaux  
UPRES-A 5467 CNRS  
Université Bordeaux I  
351 cours de la libération 33 405 Talence cedex, France  
fax : (33) 05 56 84 69 29  
e-mail : henrio@math.u-bordeaux.fr

Soit  $R$  un anneau de valuation discrète complet, de corps des fractions  $K$  de caractéristique nulle et de corps résiduel algébriquement clos  $k$ , de caractéristique  $p > 0$ . On notera  $\pi$  une uniformisante de  $R$  et  $v_K$  la valuation de  $K$ , normalisée par  $v_K(\pi) = 1$ . On supposera en outre que  $K$  contient une racine primitive  $p$ -ième  $\zeta = \lambda + 1$  de l'unité. Le disque formel sur  $R$  est le  $R$ -schéma  $\mathcal{D} := \text{Spec}R[[Z]]$ . Si  $e$  est un entier strictement positif sur  $R$ , la couronne formelle d'épaisseur  $e$  est le  $R$ -schéma  $\mathcal{C}_e := \text{Spec} \frac{R[[Z_1, Z_2]]}{(Z_1 Z_2 - \pi^e)}$ . De tels  $R$ -schémas se rencontrent dans l'étude des courbes relatives sur  $R$  : En effet, soit  $X$  un  $R$ -schéma plat, dont les fibres sont de dimension 1. Si la fibre générique de  $X$  est lisse sur  $K$ , pour un point fermé  $x$  de la fibre spéciale  $X_k$  de  $X$ , le  $R$ -schéma local  $\text{Spec} \mathcal{O}_{X,x}$  est un disque formel si  $x$  est un point lisse de  $X_k$  et une couronne formelle si  $x$  un point double ordinaire. Les problèmes de relèvements galoisiens (voir [1] et [4]) pour les courbes conduisent alors à des questions d'existence d'automorphismes de disques ou de couronnes formels.

Dans [2], B. Green et M. Matignon ont étudié les automorphismes d'ordre  $p$  du disque formel sur  $R$ . Ils montrent notamment que les positions relatives des points fixes de la fibre générique sous l'action d'un tel automorphisme  $\sigma$  satisfont des contraintes fortes, de nature métrique et algébrique. Plus précisément, ils montrent tout d'abord l'existence et l'unicité de l'éclatement minimal de  $\mathcal{D}$ , à support dans la fibre spéciale, pour lequel les spécialisations des points fixes de l'automorphisme  $\sigma$  sont lisses et distinctes. Sa fibre spéciale est un arbre de droites projectives sur  $k$ , orienté à partir de la transformée stricte de  $\mathcal{D} \times_R k$ . Ils montrent

*Date:* 28 janvier 2000.

alors que les points fixes se spécialisent dans les bouts de l'arbre ; de plus, sur un tel bout  $E$ , il existe une unique forme différentielle logarithmique dont le diviseur a pour unique zéro le point double et pour uniques pôles les spécialisations des points fixes sur  $E$ , et les résidus en ces points sont reliés directement à l'action sur l'espace tangent aux points fixes. Par ailleurs, sur une composante interne de l'arbre, il existe une forme différentielle exacte dont le diviseur a pour support les points doubles de cette composante.

Dans cet article, nous introduisons la notion combinatoire d'arbre de Hurwitz, qui permet d'exprimer ces contraintes de façon synthétique. Cette notion est adaptée également au cas des automorphismes d'ordre  $p$  de couronnes formelles, et nous étendons les résultats de Green et Matignon dans ce contexte. Nous donnons par ailleurs une condition nécessaire et suffisante pour qu'un arbre de Hurwitz provienne d'un automorphisme d'ordre  $p$  d'un disque ou d'une couronne formelle. Dans le cas du disque, on obtient ainsi la réciproque du théorème III 2.1 de [2].

Dans une première partie, nous rappelons des résultats connus sur la réduction des toseurs de Kummer de degré  $p$ . Le seul résultat essentiellement nouveau est le corollaire 1.8, qui permet d'écrire explicitement l'action d'un automorphisme d'ordre  $p$  au bord d'un disque formel. La seconde partie est consacrée à la définition d'un arbre de Hurwitz. La troisième partie traite des automorphismes d'ordre  $p$  au bord d'un disque formel ; nous construisons l'arbre de Hurwitz associé et, à l'aide de la géométrie formelle, nous montrons le **Théorème de réalisation** :

*Soit  $(\Gamma, \mathcal{H})$  un arbre de Hurwitz, il provient d'un  $R$ -automorphisme d'ordre  $p$  de  $R[[Z]]$  si et seulement si il vérifie les conditions  $D[i]$  ci-dessous ( $1 \leq i \leq 3$ ) :*

*$D[1]$  La racine de  $(\Gamma, \mathcal{H})$  est de valence 1.*

*$D[2]$  Toute arête aboutissant à un sommet maximal est une feuille.*

*$D[3]$  Tout sommet de valence supérieure ou égale à 3 est réalisable.*

Nous invitons le lecteur à entrer plus avant dans la lecture pour comprendre la terminologie employée. La condition  $D[3]$  consiste en l'existence de certaines formes différentielles. Nous complétons ensuite ce résultat par un critère suffisant, mais non nécessaire, pour assurer l'existence de ces formes différentielles. Enfin, dans la dernière partie, nous donnons des résultats similaires pour les couronnes formelles, ainsi qu'un théorème de structure pour les arbres de Hurwitz associés à un automorphisme d'ordre  $p$  à petits conducteurs aux bords, analogue au théorème III 3.1 de [2].

Nous noterons  $R\{T_1, \dots, T_n\}$  l'algèbre des séries restreintes à coefficients dans  $R$ , c'est-à-dire l'algèbre des séries formelles

$$f = \sum_{(\nu_1, \dots, \nu_n) \in \mathbb{N}^n} a_{\nu_1, \dots, \nu_n} T_1^{\nu_1} \dots T_n^{\nu_n}$$

avec  $\lim_{\nu_1+\dots+\nu_n \rightarrow +\infty} a_{\nu_1, \dots, \nu_n} = 0$ .

Nous noterons  $R[[T]][\{T^{-1}\}]$  l'algèbre des séries de Laurent  $f = \sum_{\nu \in \mathbb{Z}} a_\nu T^\nu$  telles que  $\lim_{\nu \rightarrow -\infty} a_\nu = 0$ . C'est un anneau de valuation discrète complet d'uniformisante  $\pi$  et de corps résiduel  $k((T))$ . Si  $\mathcal{X}$  est un disque ou une couronne formelle, on appelle bord de  $\mathcal{X}$  un point générique d'une composante irréductible de la fibre spéciale (qui est un diviseur de Weil sur  $\mathcal{X}$ ). Le schéma  $\mathcal{X}$  étant normal, un bord  $\eta$  définit une valuation notée  $v_\eta$  du corps des fonctions de  $\mathcal{X}$ . On vérifie que pour un bord  $\eta$  de  $\mathcal{X}$ , on a un isomorphisme de  $R$ -algèbre de  $\mathcal{O}_{\hat{\mathcal{X}}, \eta}$  sur  $R[[T]][\{T^{-1}\}]$ ; un élément  $T$  de  $\mathcal{O}_{\hat{\mathcal{X}}, \eta}$  tel que  $\mathcal{O}_{\hat{\mathcal{X}}, \eta} = R[[T]][\{T^{-1}\}]$  sera appelé paramètre au bord  $\eta$ . Le corps résiduel  $k((T))$  de  $\mathcal{O}_{\hat{\mathcal{X}}, \eta}$  est muni d'une valuation discrète  $\text{ord}_\eta$ , normalisée de façon à ce qu'une uniformisante de  $k((T))$  ait pour valuation 1. Si  $f$  est non nul dans  $\mathcal{O}_{\hat{\mathcal{X}}, \eta}$ ,  $f$  s'écrit de manière unique  $f = \pi^{v_\eta(f)} f_0$ , avec  $f_0$  non nul. On note alors  $\text{ord}_\eta(f) := \text{ord}_\eta(\bar{f}_0)$ , où  $\bar{f}_0$  est l'image résiduelle de  $f_0$  dans  $k((T))$ .

## 1. RÉDUCTION DES TORSEURS DE KUMMER DE DEGRÉ $p$

1.1. **Les schémas en groupes  $\mathcal{G}^{(n)}$  et  $\mathcal{H}_n$ .** On rappelle ici la définition de certains schémas en groupes qui interviennent dans la réduction des  $\mu_p$ -torseurs. Pour plus d'informations concernant ces schémas en groupes et leurs applications à la déformation d'Artin-Schreier à Kummer, on renvoie à [6]. Pour tout entier  $n$  strictement positif, on note  $\mathcal{G}^{(n)} := \text{Spec}R[x, \frac{1}{\pi^n x + 1}]$  le schéma en groupes affine sur  $R$  dont l'algèbre de Hopf est donnée ci-dessous :

– comultiplication :

$$\begin{aligned} R[x, \frac{1}{\pi^n x + 1}] &\rightarrow R[x, \frac{1}{\pi^n x + 1}] \otimes_R R[x, \frac{1}{\pi^n x + 1}] \\ x &\mapsto x \otimes 1 + 1 \otimes x + \pi^n x \otimes x \end{aligned}$$

– coinverse :

$$\begin{aligned} R[x, \frac{1}{\pi^n x + 1}] &\rightarrow R[x, \frac{1}{\pi^n x + 1}] \\ x &\mapsto -\frac{x}{\pi^n x + 1} \end{aligned}$$

– coïdentité

$$\begin{aligned} R[x, \frac{1}{\pi^n x + 1}] &\rightarrow R \\ x &\mapsto 0 \end{aligned}$$

La fibre spéciale de  $\mathcal{G}^{(n)}$  s'identifie canoniquement au groupe additif  $\mathbb{G}_a$  sur  $k$ ; par ailleurs, la fibre générique est isomorphe au groupe multiplicatif  $\mathbb{G}_m$  sur  $K$  :

Plus précisément, on définit un homomorphisme de schémas en groupes  $\phi_n$  de  $\mathcal{G}^{(n)}$  dans  $\mathbb{G}_{m,R}$  par l'homomorphisme de  $R$ -algèbres de Hopf :

$$\begin{aligned} R[u, u^{-1}] &\rightarrow R\left[x, \frac{1}{\pi^n x + 1}\right] \\ u &\mapsto \pi^n x + 1 \end{aligned}$$

On a alors la suite exacte pour la topologie  $fppf$  :

$$(1) \quad 0 \rightarrow \mathcal{G}^{(n)} \xrightarrow{\phi_n} \mathbb{G}_{m,R} \rightarrow j_{n*} \mathbb{G}_{m,R_n} \rightarrow 0$$

où  $R_n := R/(\pi^n)$  et  $j_n$  est l'immersion fermée de  $\text{Spec} R_n$  dans  $\text{Spec} R$ . (voir [6]). On voit alors que  $\phi_n \otimes_R K$  est un isomorphisme.

Pour  $0 < n \leq v_K(\lambda) = \frac{v_K(p)}{p-1}$ , le polynôme  $\frac{(\pi^n x + 1)^p - 1}{\pi^{pn}}$  est à coefficients dans  $R$ ; on définit alors un homomorphisme de  $R$ -schémas en groupes  $\psi_n$  de  $\mathcal{G}^{(n)}$  dans  $\mathcal{G}^{(pn)}$  par :

$$\begin{aligned} R\left[y, \frac{1}{\pi^{pn} y + 1}\right] &\rightarrow R\left[x, \frac{1}{\pi^n x + 1}\right] \\ y &\mapsto \frac{(\pi^n x + 1)^p - 1}{\pi^{pn}} \end{aligned}$$

L'homomorphisme  $\psi_n$  est une isogénie de degré  $p$ , on note  $\mathcal{H}_n$  le noyau de  $\psi_n$ , et on obtient la suite exacte pour la topologie  $fppf$  :

$$(2) \quad 0 \rightarrow \mathcal{H}_n \rightarrow \mathcal{G}^{(n)} \xrightarrow{\psi_n} \mathcal{G}^{(pn)} \rightarrow 0$$

Le schéma en groupes  $\mathcal{H}_n$  est fini et plat sur  $R$ , de degré  $p$ . Sa fibre générique est isomorphe au groupe  $\mu_{p,K}$ . Si  $0 < n < v_K(\lambda)$ , sa fibre spéciale est le groupe radiciel additif  $\alpha_p$ ; si  $n = v_K(\lambda)$ , sa fibre spéciale est un groupe étale isomorphe à  $\mathbb{Z}/p\mathbb{Z}$ .

**1.2. Torseurs  $fppf$  sous  $\mathcal{H}_n$ .** Soit  $n$  un entier strictement positif,  $X$  un  $R$ -schéma, on déduit de la suite exacte (1) la suite exacte

$$H^0(X, \mathbb{G}_m) \rightarrow H^0(X_n, \mathbb{G}_m) \rightarrow H^1(X, \mathcal{G}^{(n)}) \rightarrow \text{Pic} X \rightarrow \text{Pic} X_n$$

où  $X_n := X \times_{\text{Spec} R} \text{Spec} R_n$ . En particulier, on a le

**Lemme 1.1.** *Si  $\text{Pic} X \rightarrow \text{Pic} X_n$  est injectif et si  $H^0(X, \mathbb{G}_m) \rightarrow H^0(X_n, \mathbb{G}_m)$  est surjectif,  $H^1(X, \mathcal{G}^{(n)}) = 0$ . En particulier, si  $X = \text{Spec} A$ , avec  $A$  une  $R$ -algèbre complète pour la topologie  $\pi$ -adique,  $H^1(X, \mathcal{G}^{(n)}) = 0$ .*

Soit  $X$  un  $R$ -schéma, si  $0 < n \leq v_K(\lambda)$ , on déduit de la suite exacte (2) la suite exacte

$$H^0(X, \mathcal{G}^{(n)}) \rightarrow H^0(X, \mathcal{G}^{(pn)}) \rightarrow H^1(X, \mathcal{H}_n) \rightarrow H^1(X, \mathcal{G}^{(n)})$$

**Corollaire 1.2.** *Si  $X = \text{Spec}A$ , avec  $A$  une  $R$ -algèbre complète pour la topologie  $\pi$ -adique,*

$$H^1(X, \mathcal{H}_n) = \mathcal{G}^{(pn)}(A)/\mathcal{G}^{(n)}(A).$$

*Remarque 1.3.* On peut concrètement réécrire le corollaire de la manière suivante : On considère une  $R$ -algèbre  $A$  factorielle et complète pour la topologie  $\pi$ -adique, un tore sous  $\mathcal{H}_n$  au-dessus de  $\text{Spec}A$  est alors de la forme  $\text{Spec}B$ , avec

$$B := \frac{A[w]}{\frac{(\pi^n w + 1)^p - 1}{\pi^{pn}} - u},$$

où  $u$  appartient à  $A$ . Deux éléments  $u_1$  et  $u_2$  de  $A$  définissent le même tore s'il existe  $v$  dans  $A$  tel que

$$u_2 = u_1(\pi^n v + 1)^p + \frac{(\pi^n v + 1)^p - 1}{\pi^{pn}}.$$

**1.3. Torseurs  $fppf$  sous  $\mu_p$ .** On a la suite exacte de schémas en groupes commutatifs, pour la topologie  $fppf$  :

$$1 \rightarrow \mu_p \rightarrow \mathbb{G}_m \xrightarrow{x \mapsto x^p} \mathbb{G}_m \rightarrow 1.$$

On en déduit le

**Lemme 1.4.** *Soit  $X$  un  $R$ -schéma, si  $\text{Pic}X = 0$ ,  $H^1(X, \mu_p) = H^0(X, \mathbb{G}_m)/H^0(X, \mathbb{G}_m)^p$ . En particulier, si  $X = \text{Spec}A$ , avec  $A$  une  $R$ -algèbre factorielle,*

$$H^1(X, \mu_p) = \mathbb{G}_m(A)/\mathbb{G}_m(A)^p.$$

*Remarque 1.5.* Comme ci-dessus, on peut reformuler concrètement le lemme de la manière suivante : On considère une  $R$ -algèbre  $A$  factorielle, un tore sous  $\mu_p$  au-dessus de  $\text{Spec}A$  est alors de la forme  $\text{Spec}B$ , avec

$$B = \frac{A[y]}{(y^p - u)}.$$

où  $u$  est une unité de  $A$ , unique à la multiplication près d'une puissance  $p$ -ième d'une unité de  $A$ .

#### 1.4. Réduction des $\mu_p$ -torseurs.

**Proposition 1.6.** *Soit  $X := \text{Spec}A$  un schéma affine plat sur  $R$ , dont les fibres sont intègres et de dimension 1 ; on suppose que  $A$  est une  $R$ -algèbre factorielle et complète pour la topologie  $\pi$ -adique. Soit  $Y_K \rightarrow X_K$  un  $\mu_p$ -torseur étale non trivial, donné par une équation  $y^p = f$ , où  $f$  est inversible dans  $A_K$ , et  $Y$  le normalisé de  $X$  dans  $Y_K$  ; on suppose que la fibre spéciale de  $Y$  est intègre. Soit  $\eta$  (resp.  $\eta'$ ) le point générique de la fibre spéciale de  $X$  (resp.  $Y$ ). Les anneaux locaux  $\mathcal{O}_{X,\eta}$  et  $\mathcal{O}_{Y,\eta'}$  sont alors des anneaux de valuation discrète d'uniformisante  $\pi$ . Notons  $\delta$  la valuation de la différentielle de  $\mathcal{O}_{Y,\eta'}/\mathcal{O}_{X,\eta}$ . On distingue alors deux cas suivant la valeur de  $\delta$ .*

- Si  $\delta = v_K(p)$ ,  $Y$  est un  $\mu_{p,R}$ -torseur pour la topologie fppf, donc  $\mathcal{Y} = \text{Spec}B$ , avec  $B := \frac{A[y]}{(y^p - u)}$ , où  $u$  est une unité de  $A$ , unique à la multiplication d'une puissance  $p$ -ième d'une unité de  $A$  près. On dit que le toseur  $Y \rightarrow X$  a **réduction multiplicative**.
- Si  $0 \leq \delta < v_K(p)$ , on a  $\delta = v_K(p) - n(p - 1)$ , où  $n$  est un entier tel que  $0 < n \leq v_K(\lambda)$ , et  $Y \rightarrow X$  est un toseur sous  $\mathcal{H}_n$  pour la topologie fppf, donc est donné par  $Y = \text{Spec}B$ ,

$$B := \frac{A[w]}{\left(\frac{(\pi^n w + 1)^p - 1}{\pi^{pn}} - u\right)},$$

où  $u$  est un élément de  $A$ . De plus, si  $B$  est isomorphe à  $\frac{A[w]}{\frac{(\pi^n w + 1)^p - 1}{\pi^{pn}} - u'}$ , alors il existe  $v$  dans  $A$  tel que  $u' = u(\pi^n v + 1)^p + \frac{(\pi^n v + 1)^p - 1}{\pi^{pn}}$ .

Si  $0 < \delta < v_K(p)$  (resp.  $\delta = 0$ ), on dit que le toseur  $Y \rightarrow X$  a **réduction additive** (resp. **réduction étale**).

*Démonstration.* Notons  $Y := \text{Spec}B$ , où  $B$  est une  $A$ -algèbre finie, normale. On peut écrire  $f = \pi^r f_0$ , où  $r$  est un entier,  $f_0$  appartient à  $A$  et n'est pas divisible par  $\pi$ ; on peut en outre supposer  $0 \leq r < p$ . Supposons  $r > 0$ , alors comme  $y$  appartient à  $B$ , et  $B \otimes_R k$  est réduit,  $y = \pi^s y'$ , avec  $y'$  dans  $B$  et  $s > 0$ . Mais alors,  $f_0 = \pi^{sp-r} y'^p$ , donc  $f_0$  appartient à  $\pi B$ . Comme  $\frac{f_0}{\pi}$  est entier sur  $A$ , en considérant un polynôme unitaire de degré  $d$  qui l'annule, on voit que  $\bar{f}_0^d$  est nul. Comme  $A \otimes_R k$  est intègre, l'image  $\bar{f}_0$  de  $f_0$  dans  $A \otimes_R k$  est nulle, i.e.  $f_0$  appartient à  $\pi A$ , ce qui contredit sa définition. Ainsi,  $r = 0$  et donc  $f$  appartient à  $A$ ,  $\bar{f} \neq 0$ . En fait, comme  $\pi$  est irréductible dans  $A$  et  $f$  est inversible dans  $A_K$ ,  $f$  est inversible dans  $A$ .

On suppose tout d'abord que  $\bar{f}$  n'est pas une puissance  $p$ -ième, alors  $\frac{A[y]}{(y^p - f)}$  est intégralement clos, contenu dans  $B$  et de même corps des fractions, ainsi il est égal à  $B$ . On a alors  $\delta = v_K(p)$  et  $\text{Spec}B$  est un toseur sous  $\mu_p$ .

On suppose à présent que  $f$  est une puissance  $p$ -ième modulo  $\pi$ . Il existe donc un  $g$  dans  $A$ , nécessairement inversible, tel que  $f = g^p \pmod{\pi}$ . Remplaçant  $f$  par  $g^{-p}f$ , on peut alors supposer que  $f = 1 + \pi^{r_0} h_0$ , où  $h_0$  appartient à  $A$  et  $\bar{h}_0 \neq 0$ . Si on avait  $r_0 > pv_K(\lambda)$ , alors  $1 + \pi^{r_0} h_0$  serait une puissance  $p$ -ième dans  $A$  et le toseur  $Y_K \rightarrow X_K$  serait trivial. Ainsi  $r_0 \leq pv_K(\lambda)$ . Si  $r_0 = pv_K(\lambda)$ ,  $Y$  est un toseur (étale) sous  $\mathcal{H}_{v_K(\lambda)}$ . Sinon, on écrit la division euclidienne  $r_0 = pq_0 + s_0$ ,  $0 \leq s_0 < p$ . En posant  $y := \pi^{q_0} y_0 + 1$ , on obtient

$$\frac{(\pi^{q_0} y_0 + 1)^p - 1}{\pi^{pq_0}} = \pi^{s_0} h_0.$$

Supposons  $s_0 > 0$ , on a alors  $y_0 = \pi y'_0$ , avec  $y'_0$  dans  $B$ . De la relation  $1 + \pi^{s_0} h_0 = (1 + \pi^{q_0+1} y'_0)^p$ , on tire alors la contradiction  $\bar{h}_0 = 0$ . Ainsi,  $r_0 = pq_0$ , avec  $q_0 < v_K(\lambda)$ . Si  $\bar{h}_0$  n'est pas une puissance  $p$ -ième, on a fini. Sinon, on peut réappliquer le même processus et on tombe après un nombre fini d'étapes sur une équation  $y^p = 1 + \pi^{pn} h$ , avec ou bien  $n = v_K(\lambda)$  et on a une réduction étale, ou bien  $n < v_K(\lambda)$ ,  $\bar{h}$  n'est pas une puissance  $p$ -ième et on a un torseur sous  $\mathcal{H}_n$ , donc radiciel en réduction.  $\square$

**Exemple 1.7.** Soit  $A := R\{T, (T - T_i)^{-1}\}_{1 \leq i \leq r}$ ,  $X := \text{Spec}A$  vérifie les conditions de la proposition précédente. Un  $\mu_p$ -torseur au-dessus de sa fibre générique se prolonge donc en un torseur sous  $\mu_p$  (on dira qu'on a réduction multiplicative) ou sous  $\mathcal{H}_n$  (on dira qu'on a réduction additive si  $n < v_K(\lambda)$  et étale si  $n = v_K(\lambda)$ ).

Le corollaire suivant est essentiel pour la construction d'automorphismes d'ordre  $p$  du disque formel à partir d'un arbre de Hurwitz. Il permet en effet d'écrire explicitement, sur un paramètre convenable, l'action d'un tel automorphisme au bord du disque.

**Corollaire 1.8.** Soit  $A := R[[T]]\{T^{-1}\}$ ,  $B$  une  $A$ -algèbre finie de degré  $p$ , plate sur  $R$  et  $G$  un groupe  $p$ -cyclique d'automorphismes de  $B$ ; on suppose que  $A$  s'identifie à  $B^G$ , et que  $\bar{B} := B \otimes_R k$  est un corps, extension purement inséparable de degré  $p$  de  $\bar{A} = k((t))$ . L'anneau  $B$  est alors un anneau de valuation discrète complet d'uniformisante  $\pi$ , de corps résiduel de la forme  $k((z))$ ; si  $Z$  relève  $z$  dans  $B$ ,  $B = R[[Z]]\{Z^{-1}\}$ . Soit  $\delta$  la valuation de la différentielle de  $B$  sur  $A$ .

(A) Si  $\delta = v_K(p)$ ,  $\text{Spec}B \rightarrow \text{Spec}A$  est un fppf-torseur sous  $\mu_p$ , et ainsi il existe une unité  $u$  dans  $A$  tel que  $B = \frac{A[y]}{(y^p - u)}$ . De plus,  $u$  est unique à la multiplication d'une puissance  $p$ -ième près d'une unité de  $A$ . En particulier, la forme différentielle  $\omega := \frac{d\bar{u}}{\bar{u}}$  est uniquement déterminée. De plus, le résidu  $h$  de  $\omega$  appartient à  $\mathbb{F}_p$ .

Notons  $\phi$  l'unique isomorphisme de  $G$  sur  $\mathbb{Z}/p\mathbb{Z}$  tel que pour  $\sigma \in G$ , on ait  $\sigma y = \zeta^{\phi(\sigma)} y$ , on a alors deux cas :

- Si le résidu  $h$  de  $\omega$  est non nul, alors  $y = Z^h$ , où  $Z$  est un paramètre de  $B$ , et, pour  $\sigma \in G$ ,  $\sigma Z = \zeta^{\frac{1}{h}\phi(\sigma)} Z$ .
- Si le résidu  $h$  de  $\omega$  est nul, alors l'entier  $m := 1 + \text{ord}_t \omega$  est positif et premier à  $p$ . De plus, (pour un choix convenable de  $u$ ) il existe un paramètre  $Z$  de  $B$  tel que  $y = 1 + Z^m$  et, pour  $\sigma \in G$ ,

$$\sigma Z = \zeta^{\frac{1}{m}\phi(\sigma)} Z (1 + \zeta^{-\phi(\sigma)} (\zeta^{\phi(\sigma)} - 1) Z^{-m})^{\frac{1}{m}}$$

(B) Si  $0 < \delta < v_K(p)$ ,  $\text{Spec}B \rightarrow \text{Spec}A$  est un fppf-torseur sous  $\mathcal{H}_n$ , où  $n$  est un entier donné par  $v_K(p) = \delta + n(p - 1)$ . Ainsi, il existe  $u$  dans  $A$  tel que

$B = \frac{A[w]}{\left(\frac{(\pi^n w + 1)^{p-1}}{\pi^{pn}} - u\right)}$ ,  $\bar{u} \notin k((t^p))$ . De plus,  $\bar{u}$  est unique à l'addition d'une puissance  $p$ -ième près. En particulier, la forme différentielle  $\omega := d\bar{u}$  est uniquement déterminée. L'entier  $m := 1 + \text{ord}_t(\omega)$  est premier à  $p$ .

Notons  $\phi$  l'unique isomorphisme de  $G$  sur  $\mathbb{Z}/p\mathbb{Z}$  tel que pour  $\sigma \in G$ , on ait  $\sigma(\pi^n w + 1) = \zeta^{\phi(\sigma)}(\pi^n w + 1)$ . On a alors  $w = Z^m$ , où  $Z$  est un paramètre de  $B$ , et pour  $\sigma \in G$ ,  $\sigma Z = \zeta^{\frac{1}{m}\phi(\sigma)} Z (1 + \pi^{-n}(\zeta^{\phi(\sigma)} - 1)\zeta^{-\phi(\sigma)} Z^{-m})^{\frac{1}{m}}$ .

*Démonstration.* Comme  $k$  est algébriquement clos,  $\bar{B}$  est un corps  $k((z))$  de séries formelles en une variable sur  $k$ . Soit  $Z$  dans  $B$  relevant  $Z$ , il suit du lemme 2.1 de [5] que  $B = R[[Z]][Z^{-1}]$ . On est donc dans la situation de la proposition 1.6 (Remarquer que  $A$  est principal, donc factoriel).

(A) On suppose tout d'abord que  $\delta = v_K(p)$ . La proposition 1.6 montre alors que  $\text{Spec}B \rightarrow \text{Spec}A$  est un *fppf*-torseur sous  $\mu_p$ , donné par

$$B := \frac{A[y]}{(y^p - u)}.$$

(a) Si  $\text{ord}_t \bar{u}$  est premier à  $p$ , alors il est égal modulo  $p$  au résidu  $h$  de  $\omega := \frac{d\bar{u}}{\bar{u}}$ . En particulier, ce résidu est un inversible de  $\mathbb{F}_p$ . De plus,  $y$  est modulo  $\pi$  la puissance  $h$ -ième d'une uniformisante  $z$  de  $\bar{B}$ . Comme  $B$  est hensélien,  $y = Z^h$ , où  $Z$  relève  $z$  dans  $B$ , ainsi  $Z$  est un paramètre de  $B$ . Le calcul de  $\sigma Z$  est immédiat.

(b) Si maintenant  $\text{ord}_t \bar{u}$  est divisible par  $p$ , on peut le supposer nul. Alors, si  $\omega := \frac{d\bar{u}}{\bar{u}}$ , on a  $1 + \text{ord} \omega = 1 + \text{ord} d\bar{u}$  positif et premier à  $p$ . En particulier, le résidu de  $\omega$  est nul. Alors on peut écrire  $\bar{u} = 1 + \sum_{1 \leq i \leq \lfloor \frac{m}{p} \rfloor} \bar{c}_i t^{ip} + \bar{a} t^m \pmod{t^{m+1}}$ , où les  $c_i$  et  $a$  sont dans  $R$ . En multipliant  $Y$  par  $1 - c_1 T$ , on se ramène à  $\bar{c}_1 = 0$ . En appliquant successivement ce processus, on peut supposer que  $\bar{u}$  s'écrit  $\bar{u} = 1 + \bar{a} t^m \pmod{t^{m+1}}$ , avec  $\bar{a} \neq 0$ . On a  $(\bar{y} - 1)^p = t^m$ , où  $t'$  est une uniformisante de  $\bar{A}$ . Il en résulte que  $\bar{y} - 1$  est la puissance  $m$ -ième d'une uniformisante de  $\bar{B}$ . Comme  $B$  est hensélien,  $y = 1 + Z^m$ , où  $Z$  est un paramètre de  $B$ . Le calcul de  $\sigma Z$  est immédiat.

(B) On suppose à présent que  $0 < \delta < v_K(p)$ , alors, d'après la proposition 1.6,  $\text{Spec}B \rightarrow \text{Spec}A$  est un *fppf*-torseur sous  $\mathcal{H}_n$ , où  $v_K(p) = \delta + (p - 1)n$ . Il est donc donné par

$$B = \frac{A[w]}{\left(\frac{(\pi^n w + 1)^{p-1}}{\pi^{pn}} - u\right)}.$$

Il résulte de la proposition 1.6 que  $\bar{u}$  est unique à l'addition d'une puissance  $p$ -ième près, donc la différentielle  $d\bar{u}$  est bien déterminée. Les assertions suivantes se démontrent de façon analogue au cas multiplicatif.  $\square$

**Définition 1.9.** Soit  $\phi : \text{Spec}B \rightarrow \text{Spec}A$  un toseur comme dans le corollaire précédent, on notera  $\omega_\phi$  la 1-forme différentielle égale à  $\frac{d\bar{u}}{\bar{u}}$  si la réduction est



multiplicative, donnée par l'équation  $y^p = u$ , et égale à  $d\bar{u}$  si la réduction est additive ou étale, donnée par l'équation  $(\pi^n w + 1)^p = 1 + \pi^{pn} u$ . On dira que  $\omega_\phi$  est la 1-forme différentielle associée au torseur  $\phi$ .

**Proposition 1.10.**

*Démonstration.* Quitte à échanger les bords, on peut supposer  $m \geq 0$ . Comme  $\varphi_K$  est étale, la fonction  $\frac{\sigma Z}{Z} - 1$  ne possède pas de zéro sur la couronne, donc d'après le lemme 1.6 de [5], on a alors  $m + m' = 0$ . De plus, on peut écrire  $\frac{\sigma(Z)}{Z} - 1 = \pi^q Z^m U$ , où  $q$  est un entier et  $U$  est un inversible de  $\mathcal{O}(\mathcal{C}_e)$ . Alors,

$$d_\rho = (p-1)v_\rho \left( \frac{\sigma(Z)}{Z} - 1 \right) = q(p-1) + m(p-1)v_K(\rho).$$

On conclut en remarquant que  $q(p-1) = (p-1)v_\eta \left( \frac{\sigma(Z)}{Z} - 1 \right) = d_\eta$ . Enfin, la dernière assertion résulte du corollaire 1.8.  $\square$

## 2. ARBRES DE HURWITZ

Soit  $\Gamma$  un arbre fini connexe, orienté à partir d'un sommet fixé  $r_o$  appelé racine de l'arbre. On notera  $\text{som}\Gamma$  (resp.  $\text{ar}\Gamma$ ) l'ensemble des sommets (resp. arêtes) de  $\Gamma$ . Pour tout sommet  $s$  de  $\Gamma$ ,  $\text{ar}(s)$  (resp.  $\text{ar}^+(s)$ ) sera l'ensemble des arêtes (resp. arêtes positives) d'origine  $s$ ; le nombre d'arêtes d'origine  $s$  est la valence du sommet  $s$ . Pour toute arête  $a$  de  $\Gamma$ ,  $o_\Gamma(a)$ ,  $t_\Gamma(a)$  et  $\bar{a}$  désignent respectivement l'origine, le sommet terminal et l'arête opposée de  $a$ . Une  $n$ -chaîne dans  $\Gamma$  est un sous-arbre  $\Gamma_0$  avec  $\text{som}\Gamma_0 = \{s_i, 0 \leq i \leq n\}$  et  $\text{ar}\Gamma_0 = \{a_i, \bar{a}_i, 0 \leq i < n\}$ , où  $o_{\Gamma_0}(a_i) = s_i$  et  $t_{\Gamma_0}(a_i) = s_{i+1}$ . La chaîne  $\Gamma_0$  est positive si  $a_i$  est positive pour tout  $i$ . Pour tout sommet  $s$  il existe une unique chaîne d'origine  $r_o$  et de sommet terminal  $s$ , on la notera  $\Gamma_s$ .

L'orientation de l'arbre induit une relation d'ordre sur  $\text{som}\Gamma$ , à savoir  $s_1 \leq s_2$  si et seulement si il existe une chaîne positive dans  $\Gamma$  d'origine  $s_1$  et d'extrémité  $s_2$ . Un sommet maximal sera un sommet maximal pour cette relation d'ordre.

**Définition 2.1.** Etant donné un arbre  $\Gamma$ , fini et connexe, on considère les données suivantes :

- Un sommet  $r_o$  de  $\Gamma$ ; on oriente  $\Gamma$  à partir de  $r_o$ .
- Un entier  $d_0$  divisible par  $p-1$ , vérifiant  $0 \leq d_0 \leq v_K(p)$ .
- Une application  $\epsilon$  de  $\text{ar}\Gamma$  dans  $\mathbb{N}$  telle que pour toute arête  $a$  on ait  $\epsilon(a) = \epsilon(\bar{a})$ . En particulier,  $\epsilon$  définit une métrique sur le graphe obtenu en retirant les arêtes  $a$  telles que  $\epsilon(a) = 0$ .
- Une application  $m$  de  $\text{ar}\Gamma$  dans  $\mathbb{Z}$ .

– Une application  $h$  de  $\text{ar}\Gamma$  dans  $\mathbb{Z}/p\mathbb{Z}$ .

On définit alors, pour tout sommet  $s$ , un entier  $d(s)$  par :

$$d(s) := d_0 + (p-1) \left( \sum_{a \in \text{ar}^+ \Gamma_s} m(a) \epsilon(a) \right).$$

On dira que la donnée  $\mathcal{H} := (r_0, d_0, \epsilon, m, h)$  est une **donnée de Hurwitz** sur  $\Gamma$ , ou encore que  $(\Gamma, \mathcal{H})$  est un arbre de Hurwitz (sous-entendu défini sur  $K$ ), si les conditions  $H[i]$ ,  $1 \leq i \leq 7$ , ci-dessous sont réalisées :

$H[1]$  Pour toute arête  $a$ ,  $m(\bar{a}) = -m(a)$  et  $h(\bar{a}) = -h(a)$ .

$H[2]$  Pour toute arête  $a$ ,  $m(a) = 0$  si et seulement si  $h(a) \neq 0 \pmod{p}$ . De plus, si  $m(a) \neq 0$ ,  $m(a)$  est premier à  $p$ .

$H[3]$  Un sommet  $s$  de valence strictement supérieur à 1 est l'origine d'au moins trois arêtes distinctes, et on a les relations :

$$\sum_{a \in \text{ar}(s)} (m(a) + 1) = 2 \quad \text{et} \quad \sum_{a \in \text{ar}(s)} h(a) = 0 \pmod{p}.$$

$H[4]$  Si  $a$  est une arête positive telle que  $\epsilon(a) = 0$ , alors son sommet terminal est maximal. Si de plus  $m(a) = 0$ , on dira que  $a$  est une **feuille**.

$H[5]$  Pour tout sommet  $s$  de  $\Gamma$ ,  $0 \leq d(s) \leq v_K(p)$ .

On dira alors qu'un sommet  $s$  de  $\Gamma$  est :

- **multiplicatif** si  $d(s) = v_K(p)$ ,
- **additif** si  $0 < d(s) < v_K(p)$ ,
- **étale** si  $d(s) = 0$ ,

$H[6]$  Si  $a$  est une feuille, l'origine de  $a$  est un sommet multiplicatif.

$H[7]$  Si  $s$  est additif ou étale, pour toute arête  $a$  d'origine  $s$ ,  $h(a) = 0 \pmod{p}$ .

Si  $(\Gamma_1, \mathcal{H}_1)$  et  $(\Gamma_2, \mathcal{H}_2)$  sont des arbres de Hurwitz, on dira qu'ils sont équivalents si il existe un isomorphisme de  $\Gamma_1$  sur  $\Gamma_2$  qui transporte  $\mathcal{H}_1$  sur  $\mathcal{H}_2$ .

**Définition 2.2.** Soit  $(\Gamma, \mathcal{H})$  un arbre de Hurwitz, et  $a$  une arête positive de  $\Gamma$ . Considérons le sous-arbre  $\Gamma[a]$  dont l'ensemble des sommets est constitué de l'origine de  $a$  et des sommets  $s$  de  $\Gamma$  tels que  $t_\Gamma(a) \leq s$ . La donnée de Hurwitz  $\mathcal{H}$  induit alors une donnée de Hurwitz  $\mathcal{H}[a] := (o_\Gamma(a), d(o_\Gamma(a)), \epsilon, m, h)$  sur  $\Gamma[a]$ .

**Définition 2.3.** Soit  $(\Gamma, \mathcal{H})$  un arbre de Hurwitz.

$[M]$  Si  $s$  est un sommet de  $\Gamma$  multiplicatif de valence supérieure ou égale à 3, on dira qu'il est réalisable si il existe une fraction rationnelle  $\bar{u}_s$  dans  $k(t)$  et une injection  $j_s$  de  $\text{ar}(s)$  dans  $\mathbb{P}^1(k)$  telles que :

- Si  $a$  est une arête d'origine  $s$ , le résidu de  $\frac{d\bar{u}_s}{\bar{u}_s}$  en  $j_s(a)$  est égal à  $h(a)$ .

$$- \operatorname{div}\left(\frac{d\bar{u}_s}{\bar{u}_s}\right) = - \sum_{a \in \operatorname{ar}(s)} (m(a) + 1)[j_s(a)].$$

[A] Si  $s$  est un sommet de  $\Gamma$  additif de valence supérieure ou égale à 3, on dira qu'il est réalisable si il existe une fraction rationnelle  $\bar{u}_s$  dans  $k(t)$  et une injection  $j_s$  de  $\operatorname{ar}(s)$  dans  $\mathbb{P}^1(k)$  telles que :

$$\operatorname{div}(d\bar{u}_s) = - \sum_{a \in \operatorname{ar}(s)} (m(a) + 1)[j_s(a)].$$

*Remarque 2.4.* Très souvent, nous aurons à considérer le cas où un seul des  $m(a)$  est positif (par exemple pour l'étude du disque formel). Le problème de l'existence d'une forme différentielle comme ci-dessus se ramène à l'existence d'un point à coordonnées distinctes d'une certaine sous-variété algébrique, en général non irréductible, d'un espace affine sur  $k$  (voir la preuve de 3.18). La dimension de l'espace de ces formes différentielles solutions de notre problème est alors  $\lfloor \frac{m}{p} \rfloor$ , où  $m$  est l'unique  $m(a)$  positif (voir la remarque 3.17). En particulier, nous retrouvons la finitude de l'ensemble des solutions dans le cas où  $m < p$  ([2]).

### 3. AUTOMORPHISMES D'ORDRE $p$ DU DISQUE FORMEL

**3.1. Arbre de Hurwitz associé à un automorphisme d'ordre  $p$  du disque formel.** Soit  $\sigma$  un  $R$ -automorphisme d'ordre  $p$  de  $R[[Z]]$  (resp.  $R\{Z\}$ ), on note  $F_\sigma$  l'ensemble des points fixes géométriques de  $\sigma$  dans la fibre générique  $\mathcal{D}_K$  (resp.  $D_K$ ) de  $\mathcal{D} := \operatorname{Spec}R[[Z]]$  (resp.  $D := \operatorname{Spec}R\{Z\}$ ) ; on supposera que le cardinal de  $F_\sigma$  est égal à  $m + 1$  et que les points de  $F_\sigma$  sont tous rationnels sur  $K$  (le cardinal de  $F_\sigma$  étant fini, on peut toujours le supposer, quitte à faire une extension finie de  $K$ ). On considère le modèle minimal  $\mathcal{M}(\mathcal{D}_K, F_\sigma)$  (resp.  $\mathcal{M}(D_K, F_\sigma)$ ) déployant les spécialisations des points fixes en des points lisses et distincts, soit  $\Gamma_\sigma^*$  l'arbre dual de sa fibre spéciale, orienté à partir du sommet  $r_0$  correspondant à la transformée stricte du point générique de  $\mathcal{D}_k$  (resp. de la fibre spéciale de  $D$ ). Pour tout sommet  $s$  de  $\Gamma_\sigma^*$ , notons  $F_s$  le sous-ensemble, éventuellement vide, de  $F_\sigma$  formé des points qui se spécialisent sur la composante correspondant à  $s$ . On note  $\Gamma_\sigma$  l'arbre orienté défini par :

- L'ensemble des sommets de  $\Gamma_\sigma$  est la réunion disjointe de  $\operatorname{som}\Gamma_\sigma^*$  et de  $F_\sigma$  (resp. de  $\operatorname{som}\Gamma_\sigma^*$ , de  $F_\sigma$  et d'un singleton  $\{s_\infty\}$ ). Si  $x$  est un point de  $F_\sigma$ , on notera  $s_x$  le sommet associé.
- L'ensemble des arêtes positives de  $\Gamma_\sigma$  est la réunion disjointe de  $\operatorname{ar}^+\Gamma_\sigma^*$  et de  $F_\sigma$  (resp. de  $\operatorname{som}\Gamma_\sigma^*$ , de  $F_\sigma$  et d'un singleton  $\{a_\infty\}$ ). Si  $x$  est un point de  $F_\sigma$ , on notera  $a_x$  l'arête positive associée.
- Si  $a$  est une arête positive de  $\Gamma_\sigma^*$ , on a  $o_{\Gamma_\sigma}(a) = o_{\Gamma_\sigma^*}(a)$  et  $t_{\Gamma_\sigma}(a) = t_{\Gamma_\sigma^*}(a)$  ; pour tout point  $x$  de  $F_\sigma$ , si  $s$  est l'unique sommet de  $\Gamma_\sigma^*$  tel que  $x \in F_s$ , alors

$o_{\Gamma_\sigma}(a_x) = s$  et  $t_{\Gamma_\sigma}(a_x) = s_x$ ; enfin, dans le cas du disque fermé formel, on a  $o_{\Gamma_\sigma}(a_\infty) = r_0$  et  $t_{\Gamma_\sigma}(a_\infty) = s_\infty$ .

On définit une donnée de Hurwitz  $\mathcal{H}_\sigma := (r_0, d_0, \epsilon, m, h)$  sur  $\Gamma_\sigma$  de la façon suivante :

- L'entier  $d_0$  est égal à la valuation de la différentielle au bord  $\eta$  du disque formel.
- Si  $a$  est une arête de  $\Gamma_\sigma^*$ ,  $\epsilon(a)$  est égal à l'épaisseur du point double correspondant dans la fibre spéciale de  $\mathcal{M}(\mathcal{D}_K, F_\sigma)$ ; sinon, on pose  $\epsilon(a) = 0$ .
- Soit  $a$  une arête de  $\Gamma_\sigma$ . Si  $a$  est une arête de  $\Gamma_\sigma^*$  (resp.  $a = a_x$  où  $x$  est un point de  $F_\sigma$ ), elle correspond à un point double orienté  $z_a$  de  $\mathcal{M}_\sigma := \mathcal{M}(\mathcal{D}_K, \sigma)$  (resp. à la spécialisation  $\bar{x}$  de  $x$  dans la fibre spéciale de  $\mathcal{M}_\sigma$ ). Soit  $\xi_a$  le bord de la couronne formelle  $\text{Spec} \hat{\mathcal{O}}_{\mathcal{M}_\sigma, z_a}$  (resp. le bord du disque formel  $\text{Spec} \hat{\mathcal{O}}_{\mathcal{M}_\sigma, \bar{x}}$ )  $\text{Spec} \hat{\mathcal{O}}_{\mathcal{M}_\sigma, z_a}$  qui correspond à l'origine de  $a$ . On notera  $\hat{\mathcal{O}}_a$  le localisé-complété  $(\hat{\mathcal{O}}_{\mathcal{M}_\sigma, z_a})_{\xi_a}^\wedge$ , et  $\omega_a$  la 1-forme différentielle associée au torseur  $\text{Spec} \hat{\mathcal{O}}_a \rightarrow \text{Spec} \hat{\mathcal{O}}_a^\sigma$  s'il a réduction radicielle (voir 1.9). On pose alors  $m(a) := -(1 + \text{ord}_{\xi_a} \omega_a)$  si ce torseur a réduction radicielle, et sinon  $m(a)$  est le conducteur de Hasse de l'extension  $\hat{\mathcal{O}}_a \otimes_R k / \hat{\mathcal{O}}_a^\sigma \otimes_R k$ . On pose de plus  $h(a) = 0$  si la réduction du torseur est additive ou étale et  $h(a) = \text{Rés}_{\xi_a} \omega_a$  si la réduction est multiplicative. Par ailleurs,  $m(\bar{a}_x) = -m(a_x)$  et  $h(\bar{a}_x) = -h(a_x)$ . Enfin, dans le cas du disque fermé formel, on note  $\hat{\mathcal{O}}_\infty := R[[Z^{-1}]]\{Z\}$ , et  $\omega_\infty$  la 1-forme différentielle associée au torseur  $\text{Spec} \hat{\mathcal{O}}_\infty \rightarrow \text{Spec} \hat{\mathcal{O}}_\infty^\sigma$ . On pose alors  $m(a_\infty) = -(1 + \text{ord}_\infty \omega_\infty)$ ,  $h(a_\infty) = 0$  si la réduction du torseur est additive ou étale et  $m(a_\infty) = -m(a_\infty)$ ,  $h(a_\infty) = \text{Rés}_\infty \omega_\infty$  si la réduction est multiplicative.

**Proposition 3.1.** *Avec les définitions ci-dessus,  $(\Gamma_\sigma, \mathcal{H}_\sigma)$  est un arbre de Hurwitz. De plus :*

- Pour toute arête positive  $a$ ,  $m(a) \geq 0$ .
- Si  $a$  est une feuille, son sommet origine est un sommet maximal de  $\Gamma_\sigma^*$ . En d'autres termes, les spécialisations des points de  $F_\sigma$  sont dans les bouts de la fibre spéciale de  $\mathcal{M}_\sigma$ . Il en résulte que pour toute arête positive  $a$ , en notant  $F_a$  l'ensemble des feuilles de  $\Gamma[a]$ ,  $m(a) + 1 = \text{card}(F_a)$ .
- Tout sommet de valence supérieure à 3 est réalisable.

*Remarque 3.2.* Cette proposition est une reformulation, dans le langage des arbres de Hurwitz, des résultats de [2]. La preuve ci-dessous est à quelques détails près la même que celle exposée dans l'article cité au-dessus, nous ne la redonnons que pour illustrer la notion d'arbre de Hurwitz. On remarquera que dans le cas des arbres de Hurwitz provenant d'un automorphisme d'ordre  $p$  d'un disque formel, la donnée de l'arbre et de la racine permet de retrouver la valeur de  $m(a)$  pour toute arête  $a$ . Ce ne sera plus le cas pour les arbres de Hurwitz provenant d'un automorphisme d'une couronne formelle.

**Définition 3.3.** On dira qu'un arbre de Hurwitz provient d'un automorphisme  $\sigma$  d'ordre  $p$  du disque formel (ouvert ou fermé) s'il est équivalent à  $(\Gamma_\sigma, \mathcal{H}_\sigma)$ .

*Démonstration.*

*H[1]* Si  $a$  est une arête de  $\Gamma_\sigma^*$ , la relation  $m(\bar{a}) = -m(a)$  résulte de 1.10. Sinon, elle découle de la définition. Par ailleurs, la relation  $h(\bar{a}) = -h(a)$  découle également de la définition.

*H[2]* Soit  $a$  une arête de  $\Gamma_\sigma$ , on peut, quitte à changer  $a$  en  $\bar{a}$ , supposer  $a$  positive. En particulier, l'origine de  $a$  n'est pas un sommet maximal. Supposons tout d'abord l'origine de  $a$  multiplicative, la forme différentielle  $\omega_a$  est alors logarithmique, donc l'ordre de  $\omega_a$  est supérieur à  $-1$ . Alors  $m(a) = 0$  est équivalent à  $\text{ord}_{\xi_a} \omega_a = -1$ , ce qui est équivalent à  $h(a) = \text{Rés}_{\xi_a} \omega_a \neq 0 \pmod{p}$ . Si maintenant on suppose l'origine de  $a$  additive ou étale, on a par hypothèse  $h(a) = 0$  et comme  $\omega_a$  est maintenant une différentielle exacte, on ne peut pas avoir  $\text{ord}_{\xi_a} \omega_a = -1$ . Ainsi,  $m(a) \neq 0$ .

*H[3]* Le fait qu'un sommet ne peut pas être de valence égale à 2 résulte de la minimalité du modèle  $\mathcal{M}_\sigma$ . Soit  $s$  un sommet de  $\Gamma_\sigma^*$ , correspondant à une droite projective  $E_s$ , et  $\tilde{E}_s$  l'ouvert affine de  $E_s$  complémentaire des points doubles et des spécialisations des points de  $F_s$ . On note  $E'_s$  la composante au-dessous de  $E_s$  dans le quotient de  $\mathcal{M}_\sigma$  par  $\sigma$  et  $\tilde{E}'_s$  l'image de  $\tilde{E}_s$  dans  $E'_s$ .

Soit  $\hat{\mathcal{M}}_\sigma$  le complété formel de  $\mathcal{M}_\sigma$  le long de sa fibre spéciale, et  $\tilde{\mathcal{E}}_s$  le sous-schéma formel affine de  $\hat{\mathcal{M}}_\sigma$  de fibre spéciale  $\tilde{E}_s$ . On définit de manière analogue  $\tilde{\mathcal{E}}'_s$ . La  $R$ -algèbre  $A_s := \mathcal{O}(\tilde{\mathcal{E}}'_s)$  est complète pour la topologie  $\pi$ -adique et factorielle. En notant  $B_s := \mathcal{O}(\tilde{\mathcal{E}}_s)$ , on considère alors la réduction du torseur  $\text{Spec} B_s \rightarrow \text{Spec} A_s$ , qui est radicielle.

Si la réduction est additive, donnée par une équation  $(\pi^n w + 1)^p = 1 + \pi^{pn} u_s$ , la différentielle  $\omega_s := d\bar{u}_s$  est uniquement déterminée. Comme  $\tilde{E}_s$  est une courbe lisse,  $\omega_s$  n'a ni zéro ni pôle sur  $\tilde{E}'_s$ . On a alors

$$\text{div} \omega_s = - \sum_{a \in \text{ar}(s)} (m(a) + 1)[t_a].$$

(En notant  $t_a$  l'image dans  $E'_s$  du point de  $E_s$  correspondant à l'arête  $a$ ). La relation  $\sum_{a \in \text{ar}(s)} (m(a) + 1) = 2$  est alors simplement le fait que le degré de  $\omega_s$  est égal à  $-2$ . De plus, comme  $s$  est additif, pour toute arête  $a$  d'origine  $s$ , on a  $h(a) = 0$  par définition. Ainsi, la somme des  $h(a)$  est clairement nulle.

Si la réduction est multiplicative, donnée par une équation  $y^p = u_s$ , la différentielle  $\omega_s := \frac{d\bar{u}_s}{\bar{u}_s}$  est uniquement déterminée. Comme  $\tilde{E}_s$  est une courbe lisse,  $\omega_s$  n'a ni

zéro ni pôle sur  $\tilde{E}'_s$ . On a alors

$$\operatorname{div}\omega_s = - \sum_{a \in \operatorname{ar}(s)} (m(a) + 1)[t_a].$$

et pour  $a$  dans  $\operatorname{ar}(s)$ , le résidu de  $\omega_s$  en  $t_a$  est  $h(a)$ . Les relations  $\sum_{a \in \operatorname{ar}(s)} (m(a) + 1) = 2$  et  $\sum_{a \in \operatorname{ar}(s)} h(a) = 0$  traduisent alors respectivement que le degré de  $\omega_s$  est  $-2$  et le théorème des résidus.

En particulier, on voit dès à présent que les sommets correspondant à des droites projectives sont réalisables.

$H[4]$  est immédiat. (Les feuilles correspondent aux points de  $F_\sigma$ ).

$H[5]$  résulte du

**Lemme 3.4.** *Soit  $s$  un sommet de  $\Gamma_\sigma^*$ . Le point générique de la composante  $E_s$  définit une valuation discrète  $v_s$  du corps des fractions  $\mathcal{K}$  de  $R[[Z]]$  (resp.  $R\{Z\}$ ). L'entier  $d(s) := d_0 + (p-1)(\sum_{a \in \operatorname{ar}^+(\Gamma_s)} m(a)\epsilon(a))$  est alors égal à la valuation de la différentielle de l'extension  $(\mathcal{K}, v_s)/(\mathcal{K}^\sigma, v_s)$ .*

La preuve est immédiate, en utilisant la proposition 1.10, par récurrence sur le nombre de sommets de  $\Gamma_s$ .

$H[6]$  Une feuille correspond à un point fixe de  $\sigma$ , en particulier, la composante qui le porte a pour différentielle  $v_K(p)$ , c'est-à-dire l'origine de la feuille est un sommet multiplicatif.

$H[7]$  est immédiat d'après la définition.

La donnée  $\mathcal{H}_\sigma$  est donc bien une donnée de Hurwitz sur  $\Gamma_\sigma$ . Soit  $a$  une arête positive, et  $s$  son origine. Considérons le modèle  $M_a$  de  $\mathcal{D}_K$  obtenu à partir de  $\mathcal{M}_\sigma$  en recontractant les droites projectives correspondant aux sommets  $s'$  tels que  $\Gamma_{s'}$  passe par  $a$ . Ces droites se contractent en un point  $z_a$  de  $E_s$  qui est alors lisse sur  $M_a$ , soit  $Z_a$  un paramètre du disque formel  $\mathcal{O}_{\hat{M}_a, z_a}$ , i.e.  $\mathcal{O}_{\hat{M}_a, z_a} = R[[Z_a]]$ . On a alors, d'après la proposition 1.10,  $m(a) = \operatorname{ord}_{Z_a} \left( \frac{\sigma Z_a}{Z_a} - 1 \right) \geq 0$ . Soit  $a_0$  une feuille de  $\Gamma_\sigma$ . Son origine  $s$  est un sommet de  $\Gamma_\sigma^*$ , multiplicatif. Supposons qu'il existe une arête  $a$  positive de  $\Gamma_\sigma^*$  de sommet origine  $s$ , on a alors  $m(a) \geq 0$ . Comme  $d(t_{\Gamma_\sigma}(a)) \leq v_K(p) = d(o_{\Gamma_\sigma}(a))$ , on doit avoir  $m(a) = 0$ . Plus généralement, pour toute chaîne positive d'origine  $s$ , le sommet terminal est multiplicatif. Prenons une telle chaîne, maximale. La dernière arête est une feuille. De son sommet origine  $s'$  ne partent que des feuilles par maximalité. De la relation  $\sum_{a' \in \operatorname{ar}(s')} (m(a') + 1) = 2$  et du fait qu'il existe au moins deux feuilles d'origine  $s'$ , on déduit la contradiction  $m(a) < 0$  pour l'unique arête positive de sommet terminal  $s'$ . Ainsi, toute arête d'origine  $s$  est une feuille.

Soit  $a$  une arête positive de  $\Gamma_\sigma$ . Si  $a$  est une feuille, alors  $m(a) = 0$ , et  $\text{card}F_a = 1$ . Si  $a$  n'est pas une feuille, le sommet terminal  $s$  de  $a$  est de valence supérieure à 3. Donc, d'après  $H[3]$ ,  $m(a) + 1 = \sum_{a' \in \text{ar}^+(s)} (m(a') + 1)$ . Par récurrence sur le nombre maximal de sommets d'une chaîne positive reliant le sommet terminal de  $a$  à une feuille, on peut alors supposer  $m(a') + 1 = \text{card}F_{a'}$  pour toute arête positive  $a'$  d'origine  $s$ . Comme  $F_a$  est la réunion disjointe des  $F_{a'}$ , on a alors  $m(a) + 1 = \text{card}F_a$ . Remarquons qu'on peut aussi déduire cette formule du théorème de préparation de Weierstrass.  $\square$

### 3.2. Théorème de réalisation pour le disque formel.

#### Théorème 3.5.

Soit  $(\Gamma, \mathcal{H})$  un arbre de Hurwitz, avec  $\mathcal{H} = (r_0, d_0, \epsilon, m, h)$ ; en notant  $R$  l'anneau de valuation de  $K$ ,  $(\Gamma, \mathcal{H})$  provient d'un  $R$ -automorphisme d'ordre  $p$  de  $R[[Z]]$  si et seulement si il vérifie les conditions  $D[i]$  ci-dessous ( $1 \leq i \leq 3$ ) :

$D[1]$  La racine  $r_0$  est de valence 1.

$D[2]$  Toute arête aboutissant à un sommet maximal est une feuille.

$D[3]$  Tout sommet de valence supérieure ou égale à 3 est réalisable.

La partie directe du théorème, due à B. Green et M. Matignon, a déjà été prouvée, à l'exception de  $D[1]$ , qui résulte de la construction du modèle minimal : En fait, le sommet terminal de l'unique arête d'origine  $r_0$  correspond au plus petit disque fermé contenant tous les points de  $F_\sigma$ .

*Remarque 3.6.* Quitte à faire une extension finie de  $K$ , on peut toujours se ramener au cas où la valuation  $d_0$  de la différentielle au bord du disque formel est nulle, au moyen d'un recollement convenable d'une couronne formelle semi-ouverte avec action d'un automorphisme d'ordre  $p$ . En effet, soit  $\sigma$  un automorphisme d'ordre  $p$  du disque formel, avec  $m+1$  points fixes dans la fibre générique. Posons  $v_K(p) = d_0 + (p-1)n_0$ , d'après le corollaire 1.8, il existe un paramètre  $Z$  au bord du disque formel tel que

$$\sigma Z = \zeta^{-\frac{1}{m}} Z (1 + \lambda \pi^{-n_0} \zeta^{-1} Z^m)^{-\frac{1}{m}}.$$

Considérons maintenant l'automorphisme  $\sigma_0$  d'ordre  $p$  de la couronne formelle semi-ouverte  $\text{Spec} \frac{R[[V]]\{W\}}{(VW - \rho)}$ , donné par :

$$\sigma_0 V := \zeta^{-\frac{1}{m}} V (1 + V^m)^{-\frac{1}{m}},$$

avec  $\rho^m := \lambda \pi^{-n_0} \zeta^{-1}$ . On utilise alors un lemme analogue au lemme 3.8 pour construire un prolongement de  $\sigma$  à un disque formel plus grand, en identifiant  $W = Z^{-1}$ , et le choix de  $\sigma_0$  montre que l'automorphisme obtenu agit sans inertie au bord.

**3.3. Construction d'automorphismes d'ordre  $p$ .** Le but de cette partie est de donner les résultats constituant le coeur technique de la preuve de la partie réciproque du théorème 3.5. Notamment, on va voir que l'étape essentielle est la construction d'automorphismes d'ordre  $p$  du disque fermé à partir d'un arbre de Hurwitz. On fixe une extension finie  $K$  de  $K_0$ , et on note  $R$  son anneau de valuation ;  $\pi$  désigne une uniformisante de  $R$

3.3.1. *Lemmes de recollement.*

**Lemme 3.7.** *On se donne des éléments  $a_1, \dots, a_r$  de  $R$  distincts deux à deux modulo  $\pi$ . On note, pour  $i$  de 1 à  $r$ ,  $\alpha_i$  (resp.  $\beta_i$ ) l'injection canonique de la  $R$ -algèbre  $R\{Z, (Z - a_j)^{-1}\}_{1 \leq j \leq r}$  (resp.  $R[[X_i]]$ ) dans  $R[[Z - a_i]]\{(Z - a_i)^{-1}\}$  (resp.  $R[[X_i]]\{X_i^{-1}\}$ ). On se donne également des isomorphismes de  $R$ -algèbres  $\psi_i : R[[X_i]]\{X_i^{-1}\} \rightarrow R[[Z - a_i]]\{(Z - a_i)^{-1}\}$ .*

*Si  $\theta$  est l'homomorphisme de  $R$ -module de  $R\{Z, (Z - a_j)^{-1}\}_{1 \leq j \leq r} \times \prod_{1 \leq i \leq r} R[[X_i]]$  dans  $\prod_{1 \leq i \leq r} R[[Z - a_i]]\{(Z - a_i)^{-1}\}$  défini par*

$$\theta(f_0, f_1, \dots, f_r) = (\alpha_1(f_0) - \psi_1 \circ \beta_1(f_1), \dots, \alpha_r(f_0) - \psi_r \circ \beta_r(f_r)),$$

*pour  $f_0$  dans  $R\{Z, (Z - a_j)^{-1}\}_{1 \leq j \leq r}$  et  $f_i$  dans  $R[[X_i]]$  pour  $1 \leq i \leq r$ , alors  $\theta$  est surjective et son noyau  $N$  est une  $R$ -algèbre de séries entières restreintes en une variable (autrement dit de la forme  $R\{Z_0\}$ ).*

*Démonstration.* On voit immédiatement que  $N$  est une sous- $R$ -algèbre de

$$R\{Z, (Z - a_j)^{-1}\}_{1 \leq j \leq r} \times \prod_{1 \leq i \leq r} R[[X_i]].$$

On posera  $z := Z \pmod{\pi}$  et, pour  $i$  de 1 à  $r$ ,  $x_i := X_i \pmod{\pi}$ . De l'homomorphisme de  $R$ -modules  $\theta$ , on obtient un homomorphisme de  $k$ -espace vectoriel

$$\bar{\theta} := \theta \otimes_R k : k[z, (z - \bar{a}_j)^{-1}]_{1 \leq j \leq r} \times \prod_{1 \leq i \leq r} k[[x_i]] \rightarrow \prod_{1 \leq i \leq r} k((x_i)).$$

Comme  $\bar{\psi}_i(\bar{\alpha}_i(x_i))$  est une uniformisante de  $k((z - \bar{a}_i))$ , quitte à changer le paramètre  $X_i$ , on peut supposer que  $\bar{\psi}_i(\bar{\alpha}_i(x_i)) = z - \bar{a}_i$ . On voit alors immédiatement que  $\bar{\theta}$  est surjectif et son noyau est égal à  $k[z]$ . Il suit alors que  $\theta$  est surjectif, et on obtient donc la suite exacte :

$$0 \rightarrow N \rightarrow R\{Z, (Z - a_j)^{-1}\}_{1 \leq j \leq r} \times \prod_{1 \leq i \leq r} R[[X_i]] \rightarrow \prod_{1 \leq i \leq r} R[[Z - a_i]]\{(Z - a_i)^{-1}\} \rightarrow 0$$

Alors,  $N \otimes_R k$  s'identifie au noyau  $k[z]$  de  $\bar{\theta}$  car  $\prod_{1 \leq i \leq r} R[[Z - a_i]]\{(Z - a_i)^{-1}\}$  est plat sur  $R$ . Relevons  $z$  en un élément  $Z_0$  de  $N$ , on a alors  $N = R\{Z_0\}$ .  $\square$

On démontre de manière identique le lemme :

**Lemme 3.8.** *Soient  $e$  un entier strictement positif,  $\beta$  l'injection canonique de  $\frac{R[[Z_1, Z_2]]}{(Z_1 Z_2 - \pi^e)}$  dans  $R[[Z_2]]\{Z_2^{-1}\}$ ,  $\alpha$  l'injection canonique de  $R\{Z\}$  dans  $R[[Z^{-1}]]\{Z\}$*



et  $\psi$  un isomorphisme de  $R$ -algèbres de  $R[[Z_2]]\{Z_2^{-1}\}$  sur  $R[[Z^{-1}]]\{Z\}$ . Si  $\theta$  désigne l'homomorphisme de  $R$ -modules

$$\theta : R\{Z\} \times \frac{R[[Z_1, Z_2]]}{(Z_1 Z_2 - \pi^e)} \rightarrow R[[Z^{-1}]]\{Z\}$$

défini par  $\theta(f, g) := \alpha(f) - \psi \circ \beta(g)$ , alors  $\theta$  est surjectif, et son noyau  $N$  est une algèbre de séries entières en une variable, à coefficients dans  $R$  (autrement dit de la forme  $R[[Z_0]]$ ).

### 3.3.2. Application aux arbres de Hurwitz.

**Proposition 3.9.** Soit  $\Gamma$  un arbre fini connexe et  $\mathcal{H} = (r_1, d_1, \epsilon, m, h)$  une donnée de Hurwitz sur  $\Gamma$  ; on suppose que  $(\Gamma, \mathcal{H})$  vérifie les conditions suivantes :

- La racine  $r_1$  est de valence supérieure ou égale à 3
- Toute arête  $a$  d'origine  $r_1$  vérifie  $\epsilon(a) = 0$ . En particulier, le seul sommet non maximal est la racine  $r_1$ .
- Il existe une unique arête  $a_1$  d'origine  $r_1$  qui n'est pas une feuille (i.e.  $m(a_1) \neq 0$ ).
- La racine  $r_1$  est réalisable.

Alors, si  $R$  désigne l'anneau de valuation de  $K$ , il existe un automorphisme  $\sigma$  d'ordre  $p$  du disque fermé formel  $\text{Spec}R\{Z\}$  dont l'arbre de Hurwitz associé est équivalent à  $(\Gamma, \mathcal{H})$ , et tel qu'il existe un paramètre  $V$  de  $R[[Z^{-1}]]\{Z\}$  avec

$$\sigma(V) = \zeta^{-\frac{1}{m(a_1)}} V (1 + \pi^{v_K(\lambda)} V^{m(a_1)})^{-\frac{1}{m(a_1)}}.$$

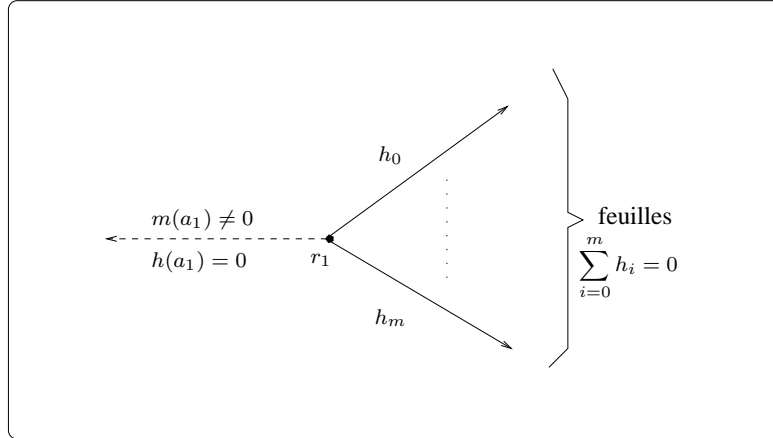


FIG. 1. Première réalisation (3.9)

*Démonstration.* Remarquons tout d'abord que si le nombre de feuilles  $a$  de  $(\Gamma, \mathcal{H})$  est  $m + 1$ , alors on a  $m(a_1) = -m$  d'après la condition  $H[3]$ . De plus, la racine est multiplicative d'après  $H[6]$ . Soit  $\bar{u}_{r_1}$  et  $j_{r_1}$  vérifiant les conditions de  $[M]$ .

Pour simplifier les notations, on notera  $\bar{u} := \bar{u}_{r_1}$ , et  $t_a := j_s(a)$  pour toute arête  $a$  d'origine  $r_1$ . On peut supposer  $t_{a_1} = +\infty$ . Alors, quitte à multiplier  $\bar{u}$  par une puissance  $p$ -ième, ce qui ne change pas la différentielle  $\frac{d\bar{u}}{\bar{u}}$ , on peut supposer que  $\bar{u} = \prod_{a \in F} (t - t_a)^{h(a)}$ , où  $F$  désigne l'ensemble des feuilles distinctes de  $a_1$ . Soit  $T_a$  dans  $R$  relevant  $t_a$ , et  $u$  un élément de la  $R$ -algèbre  $\mathcal{A} := R\{T, (T - T_a)^{-1}\}_{a \in F}$  relevant  $\bar{u}$ . Notons  $\mathcal{B} := \frac{\mathcal{A}[Y]}{(Y^p - u)}$ , c'est une  $\mathcal{A}$ -algèbre libre de rang  $p$ . On considère l'automorphisme de  $\mathcal{A}$ -algèbre (d'ordre  $p$ )  $\sigma$  tel que  $\sigma(Y) = \zeta Y$ . Le  $k$ -morphisme  $\text{Spec} \mathcal{B} \rightarrow \text{Spec} \mathcal{A}$  est un revêtement purement inséparable de degré  $p$  de l'ouvert affine  $\mathbb{P}_k^1 \setminus \{\infty, t_a\}_{a \in F}$ , et  $d\bar{u}$  ne possède ni zéro, ni pôle sur cet ouvert, donc  $\text{Spec} \mathcal{B}$  est lisse, et c'est un ouvert de la droite projective sur  $k$  de la forme  $\mathbb{P}_k^1 \setminus \{\infty, z_a\}_{a \in F}$ , où les  $z_a$  sont des éléments de  $k$  distincts deux à deux. Autrement dit, on a  $\mathcal{B} = k[z, (z - z_a)^{-1}]_{a \in F}$ . Soit  $Z$  (resp.  $Z_a$ ) un relèvement de  $z$  (resp.  $z_a$ ) dans  $\mathcal{B}$  (resp.  $R$ ), comme  $\mathcal{B}$  est plat sur  $R$ , on a  $\mathcal{B} = R\{Z, (Z - Z_a)^{-1}\}_{a \in F}$ . Soit  $\omega$  la forme différentielle  $\frac{d\bar{u}}{\bar{u}}$ .

Pour  $a \in F$ , le résidu de  $\omega$  en  $t_a$  est  $h(a) \neq 0 \pmod{p}$ ; il résulte alors de la proposition 1.8 (A,a) que  $\mathcal{B} \otimes_{\mathcal{A}} R[[T - T_a]]\{(T - T_a)^{-1}\} = R[[Z - Z_a]]\{(Z - Z_a)^{-1}\}$ , et l'action induite par celle de  $\sigma$  est donnée sur un paramètre convenable  $X_{(a)}$  par  $\sigma(X_{(a)}) = \zeta^{h(a)^{-1}} X_{(a)}$ . Remarquons que cette action se prolonge canoniquement en une action sur  $R[[X_{(a)}]]$ . Soit  $N$  le noyau de l'homomorphisme (surjectif) de  $R[\langle \sigma \rangle]$ -module  $\phi : \mathcal{B} \times \prod_{a \in F} R[[X_{(a)}]] \rightarrow \prod_{a \in F} R[[Z - Z_a]]\{(Z - Z_a)^{-1}\}$  défini par  $\phi(b, (f_a)) = (b \otimes 1 - f_a)_{a \in F}$ . D'après le lemme 3.7, la  $R[\langle \sigma \rangle]$ -algèbre  $N$  est alors de la forme  $R\{Z_0\}$ . De plus, l'arbre de Hurwitz associé à l'automorphisme  $\sigma$  de  $R\{Z_0\}$  est isomorphe à  $(\Gamma, \mathcal{H})$ . La dernière assertion résulte de la proposition 1.8 (A,b), car  $\text{ord}_\infty d\bar{u} = -(m(a_1) + 1)$ .  $\square$

**Corollaire 3.10.** *Soit  $\Gamma$  un arbre fini connexe et  $\mathcal{H} = (r_1, d_0, \epsilon, m, h)$  une donnée de Hurwitz sur  $\Gamma$ ; on suppose que  $(\Gamma, \mathcal{H})$  vérifie les conditions suivantes :*

- La racine  $r_0$  est l'origine d'une unique arête  $a_0$ , et  $\epsilon(a_0) \neq 0$ ,  $m(a_0) \neq 0$ .
- Si  $a$  est une arête positive d'origine  $r_1 := t_\Gamma(a_0)$ ,  $a$  est une feuille. En particulier,  $r_1$  est multiplicatif.
- Le sommet  $r_1$  est réalisable.

Alors, il existe un automorphisme  $\sigma$  d'ordre  $p$  du disque ouvert formel  $\text{Spec} R[[Z]]$  dont l'arbre de Hurwitz associé est équivalent à  $(\Gamma, \mathcal{H})$ , et tel qu'il existe un paramètre  $X$  de  $R[[Z]]\{Z^{-1}\}$  avec

$$\sigma(X) = \zeta^{-\frac{1}{m(a_0)}} X (1 + \pi^{v_K(\lambda) - n_0} X^{m(a_0)})^{-\frac{1}{m(a_0)}},$$

où  $n_0$  est un entier donné par la relation  $v_K(p) = d_0 + (p - 1)n_0$ .

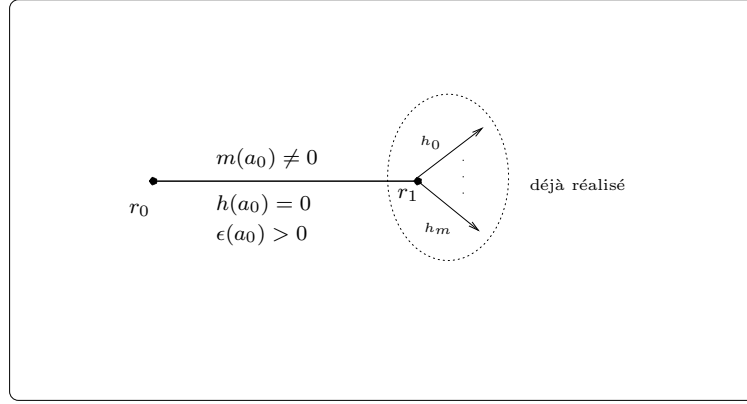


FIG. 2. Deuxième réalisation (3.10)

*Démonstration.* Soit  $\mathcal{H}'$  la donnée de Hurwitz sur  $\Gamma$  définie par

$$\mathcal{H}' := (r_1, d_1, \epsilon', m, h),$$

où  $d_1 := d_0 + m(a_0)(p-1)\epsilon(a_0)$ ,  $\epsilon'(a) = \epsilon(a)$  si  $a \notin \{a_0, \bar{a}_0\}$ , et  $\epsilon'(a_0) = 0$ . Alors,  $(\Gamma, \mathcal{H}')$  vérifie les hypothèses de la proposition 3.9 (avec  $a_1 = \bar{a}_0$ ). Il existe ainsi un  $R$ -automorphisme  $\sigma$  de  $R\{Z\}$ , d'ordre  $p$ , dont l'arbre de Hurwitz s'identifie à  $(\Gamma, \mathcal{H}')$ , et tel qu'il existe un paramètre  $V$  de  $R[[Z^{-1}]]\{Z\}$  tel que l'action induite de  $\sigma$  sur  $V$  soit donnée par  $\sigma(V) = \zeta^{\frac{1}{m}}V(1 + \pi^{v_K(\lambda)}V^{-m})^{\frac{1}{m}}$ , où  $m = m(a_0) > 0$  et  $\lambda = \zeta - 1$ . Notons  $e := \epsilon(a_0)$  et considérons la  $R$ -algèbre  $\frac{R[[Z_1, Z_2]]}{(Z_1Z_2 - \pi^e)}$ , munie du  $R$ -automorphisme (d'ordre  $p$ )  $\sigma(Z_1) = \zeta^{-\frac{1}{m}}Z_1(1 + \pi^{v_K(\lambda) - em}Z_1^m)^{-\frac{1}{m}}$ . Soit  $\psi$  l'isomorphisme de  $R$ -algèbres de  $R[[Z_2]]\{Z_2^{-1}\}$  sur  $R[[Z^{-1}]]\{Z\}$  qui envoie  $Z_2$  sur  $V$ ,  $\psi$  est  $\sigma$ -équivariant; en utilisant le lemme 3.8, on obtient un automorphisme  $\sigma$  de  $R[[Z_0]]$  dont l'arbre de Hurwitz associé s'identifie à  $(\Gamma, \mathcal{H})$ , et le paramètre au bord  $Z' := Z_1$  possède la propriété attendue; en effet,  $v_K(p) = d(r_1) = d_0 + em(a_0)(p-1)$ , donc  $n_0 = em$ .  $\square$

**Proposition 3.11.** *Soit  $\Gamma$  un arbre fini connexe et  $\mathcal{H} = (r_1, d_1, \epsilon, m, h)$  une donnée de Hurwitz sur  $\Gamma$ ; on suppose que  $(\Gamma, \mathcal{H})$  vérifie les conditions suivantes :*

- La racine  $r_1$  est additive.
- Il existe une unique arête  $a_1$  d'origine  $r_1$  vérifiant  $m(a_1) < 0$ .
- Si  $a$  est une arête d'origine  $r_1$  distincte de  $a_1$ , l'arbre de Hurwitz  $(\Gamma_a, \mathcal{H}_a)$  provient d'un  $R$ -automorphisme  $\sigma_a$  d'ordre  $p$  d'un disque formel  $\mathcal{D}_a$ , et il existe un paramètre  $X_a$  au bord de  $\mathcal{D}_a$  tel que

$$\sigma_a(X_a) = \zeta^{-\frac{1}{m(a)}}X_a(1 + \pi^{v(\lambda) - n_1}X_a^{m(a)})^{-\frac{1}{m(a)}},$$

où  $n_1$  est l'entier défini par la relation  $v_K(p) = d(r_1) + n_1(p-1)$ .

- La racine  $r_1$  est réalisable.

Alors, si  $R$  désigne l'anneau de valuation de  $K$ , il existe un automorphisme  $\sigma$  d'ordre  $p$  du disque fermé formel  $\text{Spec}R\{Z\}$  dont l'arbre de Hurwitz associé est isomorphe à  $(\Gamma, \mathcal{H})$ , et tel qu'il existe un paramètre  $V$  de  $R[[Z^{-1}]]\{Z\}$  avec

$$\sigma(V) = \zeta^{-\frac{1}{m(a_1)}} V (1 + \pi^{v_K(\lambda) - n_1} V^{m(a_1)})^{-\frac{1}{m(a_1)}}.$$

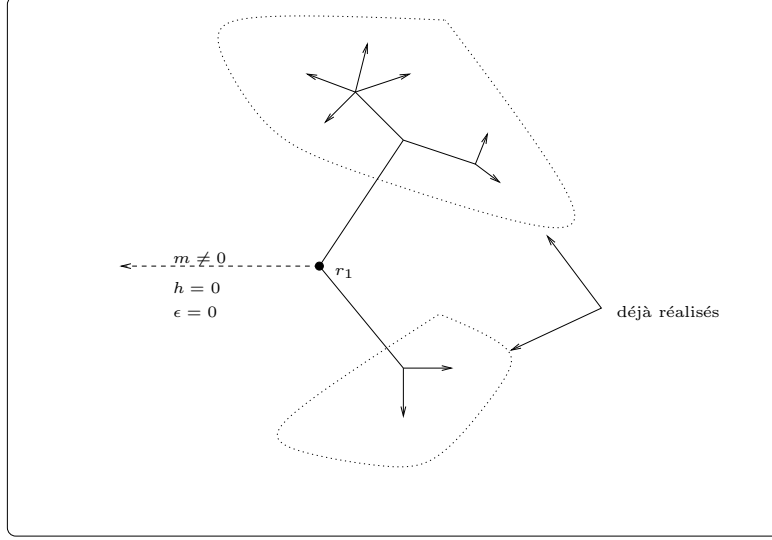


FIG. 3. Troisième réalisation (3.11)

*Démonstration.* Par la condition  $H[3]$ , on a

$$m := m(\bar{a}_1) = -m(a_1) = -1 + \sum_{a \in \text{ar}(r_1) \setminus \{a_1\}} (m(a) + 1).$$

Soit  $\bar{u}_{r_1}$  et  $j_{r_1}$  vérifiant les conditions de  $[A]$ . Pour simplifier les notations, on notera  $\bar{u} := \bar{u}_{r_1}$ , et  $t_a := j_s(a)$  pour toute arête  $a$  d'origine  $r_1$ . On peut supposer  $t_{a_1} = +\infty$ . Alors, quitte à ajouter à  $\bar{u}$  par une puissance  $p$ -ième, ce qui ne change pas la différentielle  $d\bar{u}$ , on peut supposer que les pôles de  $\bar{u}$  sont les  $t_a$ , pour  $a$  dans  $\text{ar}(r_1) \setminus \{a_1\}$ . Soit  $T_a$  dans  $R$  relevant  $t_a$ , et  $u$  un élément de la  $R$ -algèbre  $\mathcal{A} := R\{T, (T - T_a)^{-1}\}_{a \in F}$  relevant  $\bar{u}$ . Notons  $\mathcal{B} :=$

$\frac{\mathcal{A}[W]}{(\frac{(\pi^{n_1}W+1)^{p-1}}{\pi^{pn_1}} - u)}$ , c'est une  $\mathcal{A}$ -algèbre libre de rang  $p$ . On considère l'automor-

phisme de  $\mathcal{A}$ -algèbre (d'ordre  $p$ )  $\sigma$  tel que  $\sigma(W) = \zeta W + \frac{\zeta-1}{\pi^{n_1}}$ . Le  $k$ -morphisme  $\text{Spec}\mathcal{B} \rightarrow \text{Spec}\mathcal{A}$  est un revêtement purement inséparable de degré  $p$  de l'ouvert affine  $\mathbb{P}_k^1 \setminus \{\infty, t_a\}_{a \in \text{ar}(r_1) \setminus \{a_1\}}$ , donné par l'équation  $w^p - \bar{u}$ , et  $d\bar{u}$  ne possède ni zéro, ni pôle sur cet ouvert, donc  $\text{Spec}\mathcal{B}$  est lisse, et c'est un ouvert de la droite projective sur  $k$  de la forme  $\mathbb{P}_k^1 \setminus \{\infty, z_a\}_{a \in \text{ar}(r_1) \setminus \{a_1\}}$ , où les  $z_a$  sont des éléments de  $k$  distincts deux à deux. Autrement dit, on a  $\mathcal{B} = k[z, (z - z_a)^{-1}]_{a \in \text{ar}(r_1) \setminus \{a_1\}}$ .

Soit  $Z$  (resp.  $Z_a$ ) un relèvement de  $z$  (resp.  $z_a$ ) dans  $\mathcal{B}$  (resp.  $R$ ), comme  $\mathcal{B}$  est plat sur  $R$ , on a  $\mathcal{B} = R\{Z, (Z - Z_a)^{-1}\}_{a \in \text{ar}(r_1) \setminus \{a_1\}}$ .

Pour  $a \in \text{ar}(r_1) \setminus \{a_1\}$ , on a  $1 + \text{ord}_{t=t_a} d\bar{u} = -m(a) \neq 0 \pmod{p}$ ; il résulte alors de la proposition 1.8 (B) que  $\mathcal{B} \otimes_{\mathcal{A}} R[[T - T_a]]\{(T - T_a)^{-1}\}$  est égal à  $R[[Z - Z_a]]\{(Z - Z_a)^{-1}\}$ , et l'action induite par celle de  $\sigma$  est donnée sur un paramètre convenable  $\tilde{X}_a$  de  $R[[Z - Z_a]]\{(Z - Z_a)^{-1}\}$  par

$$\sigma(\tilde{X}_a) = \zeta^{-\frac{1}{m(a)}} \tilde{X}_a (1 + \pi^{v_K(\lambda) - n_1} \tilde{X}_a^{m(a)})^{-\frac{1}{m(a)}}.$$

Soit  $\psi_a$  l'isomorphisme équivariant de  $\mathcal{O}(\mathcal{D}_a)_{(\pi)}^\wedge = R[[X_a]]\{X_a^{-1}\}$  sur  $R[[Z - Z_a]]\{(Z - Z_a)^{-1}\}$  qui envoie  $X_a$  sur  $\tilde{X}_a$ . En utilisant le lemme 3.7, on construit alors une  $R$ -algèbre de la forme  $R\{Z_0\}$ , muni d'un  $R$ -automorphisme  $\sigma$  d'ordre  $p$ , dont l'arbre de Hurwitz associé s'identifie à  $(\Gamma, \mathcal{H})$ . De plus, comme  $\text{ord}_\infty d\bar{u} = -(m(a_1) + 1)$ , la proposition 1.8 (B) montre l'existence d'un paramètre  $V$  vérifiant les conditions attendues.  $\square$

Comme précédemment, en en déduit le

**Corollaire 3.12.** *Soit  $\Gamma$  un arbre fini connexe et  $\mathcal{H} = (r_0, d_0, \epsilon, m, h)$  une donnée de Hurwitz sur  $\Gamma$ ; on suppose que  $(\Gamma, \mathcal{H})$  vérifie les conditions suivantes :*

- La racine  $r_0$  est additive ou étale.
- Il existe une unique arête  $a_0$  d'origine  $r_0$ .
- Si  $a$  est une arête d'origine  $r_1 := t_\Gamma(a_0)$  distincte de  $a_1 := \bar{a}_0$ , l'arbre de Hurwitz  $(\Gamma_a, \mathcal{H}_a)$  provient d'un  $R$ -automorphisme  $\sigma_a$  d'ordre  $p$  d'un disque formel, tel qu'il existe un paramètre  $X_a$  avec

$$\sigma_a(X_a) = \zeta^{-\frac{1}{m(a)}} X_a (1 + \pi^{v(\lambda) - n_1} X_a^{m(a)})^{-\frac{1}{m(a)}},$$

où  $n_1$  est l'entier défini par la relation  $v_K(p) = d(r_1) + n_1(p - 1)$ .

- Le sommet  $r_1$  est réalisable.

Alors, si  $R$  désigne l'anneau de valuation de  $K$ , il existe un automorphisme  $\sigma$  d'ordre  $p$  du disque formel  $\text{Spec}R[[Z]]$  dont l'arbre de Hurwitz associé est isomorphe à  $(\Gamma, \mathcal{H})$ , et tel qu'il existe un paramètre  $X$  au bord du disque formel avec

$$\sigma(X) = \zeta^{-\frac{1}{m(a_0)}} X (1 + \pi^{v_K(\lambda) - n_0} X^{m(a_0)})^{-\frac{1}{m(a_0)}},$$

où  $n_0$  est l'entier défini par la relation  $v_K(p) = d_0 + (p - 1)n_0$ .

**3.4. Démonstration du théorème 3.5.** On raisonne par récurrence sur le nombre maximal  $N \geq 3$  de sommets d'une chaîne d'origine  $r_0$  et de sommet terminal maximal. Notons  $P_N$  la propriété suivante : Tout arbre de Hurwitz vérifiant les conditions  $D[i]$ , où  $1 \leq i \leq 3$ , et dont le nombre maximum de sommets d'une chaîne d'origine  $r_0$  et de sommet terminal maximal est inférieur ou égal à  $N$ , provient d'un automorphisme  $\sigma$  du disque formel, tel qu'il existe un paramètre  $X$  au bord du disque, avec  $\sigma(X) = \zeta^{-\frac{1}{m(a_0)}} X (1 + \pi^{v_K(\lambda) - n_0} X^{m(a_0)})^{-\frac{1}{m(a_0)}}$ .

La propriété  $P_3$  résulte du corollaire 3.10.

Si maintenant  $N \geq 4$ , on suppose  $P_{N-1}$  démontrée; soit  $(\Gamma, \mathcal{H})$  un arbre de Hurwitz vérifiant les conditions  $D[i]$ , où  $1 \leq i \leq 3$ , et tel que le nombre maximal de sommets d'une chaîne d'origine  $r_0$  et de sommet terminal maximal est égal à  $N$ . Alors, les hypothèses du corollaire 3.12 sont vérifiées, et donc l'arbre de Hurwitz  $(\Gamma, \mathcal{H})$  provient d'un automorphisme d'ordre  $p$  d'un disque formel, avec un bon paramètre au bord.

### 3.5. Un critère de réalisabilité.

3.5.1. *Notations.* Soit  $I$  un ensemble fini, non vide, on note  $\mathcal{P}_I$  l'ensemble des partitions de  $I$ . L'ensemble  $\mathcal{P}_I$  est en bijection avec l'ensemble des relations d'équivalence sur  $I$  : Plus précisément, si  $\mathcal{R}$  est une relation d'équivalence sur  $I$ , la partition associée est par définition l'ensemble des classes d'équivalence; réciproquement, si  $P$  est une partition, on définit une relation d'équivalence sur  $I$  par  $i \equiv j \pmod{P}$  si et seulement si il existe  $J$  dans  $P$  tel que  $i$  et  $j$  appartiennent à  $J$ . La partition associée à la relation d'égalité sur  $I$  sera notée  $P_=$ .

Il existe une relation d'ordre naturelle sur  $\mathcal{P}_I$ , à savoir  $P < P'$  si et seulement si pour tout  $J'$  dans  $P'$ , il existe  $J$  dans  $P$  tel que  $J' \subset J$ . Autrement dit, si la relation d'équivalence correspondant à  $P'$  est plus fine que celle correspondant à  $P$ .

3.5.2. *Le  $k$ -schéma  $X_{\underline{e}}$ .* Soient  $m$  un entier positif premier à  $p$ ,  $I$  un ensemble fini à  $m + 1$  éléments,  $\underline{e} := (e_i)_{i \in I}$  une famille d'éléments non nuls de  $\mathbb{F}_p$ , telle que  $\sum_{i \in I} e_i = 0$ ; on notera  $X_{\underline{e}}$  le sous-schéma fermé de  $\text{Spec} k[T_i]_{i \in I}$  d'idéal  $(\sum_{i \in I} e_i T_i^\nu)_{1 \leq \nu \leq m-1, (\nu, p)=1}$ . Soit  $x := (t_i)$  un point rationnel sur  $k$  de  $X_{\underline{e}}$ , il définit une partition  $P_x$  de  $I$  telle que  $i = j \pmod{P_x}$  si et seulement si  $t_i = t_j$ . Pour une partition  $P$  fixée de  $I$ , on notera  $X_{\underline{e}, P}$  le sous-schéma fermé de  $X_{\underline{e}}$  d'idéal  $(T_i - T_j)_{i \equiv j \pmod{P}}$ . En particulier,  $X_{\underline{e}, P_=} = X_{\underline{e}}$ . On notera  $X_{\underline{e}, P}^*$  l'ouvert de  $X_{\underline{e}, P}$  complémentaire de la réunion des  $X_{\underline{e}, P'}$ , avec  $P' < P$ . On remarquera que  $X_{\underline{e}, P}^*(k) = \{x \in X_{\underline{e}}(k), P_x = P\}$

**Lemme 3.13.** *Soit  $P$  une partition de  $I$ , différente de  $P_=$ . alors si  $x = (t_i)$  est un point rationnel sur  $k$  de  $X_{\underline{e}}$  avec  $P_x = P$ , on a  $\sum_{i \in J} e_i = 0$  pour tout  $J$  dans  $P$ .*

*Démonstration.* Pour  $J$  dans  $P$ , notons  $a_J = t_i$  pour n'importe quel  $i$  dans  $J$ , ce qui est bien défini car  $P = P_x$ . Alors, on a  $\sum_{J \in P} (\sum_{i \in J} e_i) a_J^\nu = 0$  pour  $\nu$  variant de 0 à  $m - 1$ . Comme  $P$  est différente de  $P_=$ , le cardinal  $r$  de  $P$  est inférieur ou égal à  $m$ . Les  $a_J$  étant distincts deux à deux, on déduit des  $r$  premières équations la relation  $\sum_{i \in J} e_i = 0$  pour  $J$  dans  $P$ .  $\square$

**Définition 3.14.** On dira qu'une partition de  $I$  est  $\underline{e}$ -adaptée si pour tout  $J$  dans  $P$ , on a  $\sum_{i \in J} e_i = 0 \pmod{p}$ . On notera  $\mathcal{P}_{I, \underline{e}}$  l'ensemble des partitions  $\underline{e}$ -adaptées de  $I$ .

**Corollaire 3.15.**

(a) Si  $P$  est une partition de  $I$ ,  $\underline{e}$ -adaptée, alors  $X_{\underline{e},P}$  est isomorphe à l'espace affine  $\mathbb{A}_k^P := \text{Speck}[A_J]_{J \in P}$ . En particulier,  $X_{\underline{e},P}$  est de dimension  $\text{card}P$ .

(b) Soit  $Y_{\underline{e}} := \cup_{P \in \mathcal{P}_{I,\underline{e}}} X_{\underline{e},P}$ , alors  $X_{\underline{e},\text{réd}}$  est la réunion disjointe de  $Y_{\underline{e}}$  et de  $X_{\underline{e}}^* := X_{\underline{e},P=}$ .

*Démonstration.*

(a) L'isomorphisme en question est donné par l'isomorphisme

$$\frac{k[T_i]_{i \in I}}{(T_i - T_j)_{i \equiv j \pmod{P}}} \rightarrow k[A_J]_{J \in P}$$

qui envoie  $T_i$  sur  $A_J$ , où  $J = i \pmod{P}$ .

(b) résulte du lemme 3.13, qui entraîne que  $X_{\underline{e},\text{réd}}(k)$  est la réunion disjointe de  $Y_{\underline{e}}(k)$  et de  $X_{\underline{e}}^*(k)$ .  $\square$

**Proposition 3.16.**

(a) Les composantes irréductibles de  $Y_{\underline{e}}$  sont les  $X_{\underline{e},P}$ , où  $P$  est une partition maximale  $\underline{e}$ -adaptée.

(b) Si il existe une partition maximale  $\underline{e}$ -adaptée avec  $\text{card}P \leq \lfloor \frac{m}{p} \rfloor + 1$ , alors  $X_{\underline{e}}^*(k)$  est non vide.

(c) Si  $X_{\underline{e}}^*(k)$  est non vide, l'ouvert  $X_{\underline{e}}^*$  est régulier.

*Démonstration.* L'assertion (a) est claire. Pour toute composante irréductible  $Z$  de  $X_{\underline{e}}$ , la dimension de  $Z$  est supérieure ou égale à  $m+1 - (m-1 - \lfloor \frac{m}{p} \rfloor) = \lfloor \frac{m}{p} \rfloor + 2$ .

Soit  $P$  une partition maximale  $\underline{e}$ -adaptée avec  $\text{card}P \leq \lfloor \frac{m}{p} \rfloor + 1$ , alors  $X_{\underline{e},P}$  n'est pas une composante irréductible de  $X_{\underline{e}}$ , et une composante irréductible de  $X_{\underline{e}}$  contenant  $X_{\underline{e},P}$  doit alors rencontrer  $X_{\underline{e}}^*(k)$ . Il reste à voir l'assertion (c) : On voit immédiatement que l'espace tangent en un point fermé de  $X_{\underline{e}}^*$  est de dimension  $\lfloor \frac{m}{p} \rfloor + 2$ , donc inférieur à la dimension en ce point. On applique alors le critère jacobien.  $\square$

*Remarque 3.17.* Le stabilisateur  $S_\infty := \{z \mapsto az+b \mid a \in k^*, b \in k\}$  dans  $\text{PGL}(2, k)$  du point  $\infty$  dans  $\mathbb{P}^1(k)$  est de dimension 2, et agit librement sur  $X_{\underline{e}}^*$ . Si  $X_{\underline{e}}^*(k)$  est non vide, le quotient de  $X_{\underline{e}}^*$  par l'action de  $S_\infty$  est donc une variété algébrique affine sur  $k$  de dimension  $\lfloor \frac{m}{p} \rfloor$ .

**3.5.3. Critère de réalisabilité.**

**Proposition 3.18.** Soit  $(\Gamma, \mathcal{H})$  un arbre de Hurwitz, et  $s$  un sommet de  $\Gamma$ .

(a) Supposons que  $s$  est multiplicatif, et qu'il existe une unique arête  $a_0$  d'origine  $s$  telle que  $m(a_0) \neq 0$ . Notons  $m := -m(a_0)$ ,  $I_s := \text{ar}(s) \setminus a_0$  et  $\underline{h} := (h(a))_{a \in I_s}$ .

Alors, si il existe une partition maximale  $\underline{h}$ -adaptée  $P$  de  $I_s$  avec  $\text{card}P \leq \lfloor \frac{m}{p} \rfloor + 1$ , le sommet  $s$  est réalisable.

(b) Supposons que  $s$  est additif, et qu'il existe une unique arête  $a_0$  d'origine  $s$  telle que  $m(a_0) < 0$ . Notons  $m := -m(a_0)$ ,  $I_s$  la réunion disjointe de  $I'_s := \text{ar}(s) \setminus a_0$  et d'un ensemble fini à  $m+1 - \text{card}(I'_s)$  éléments, et  $\underline{e} = (e_i)_{i \in I_s}$  la famille définie par  $e_i := m(i)$  si  $i \in I'_s$  et  $e_i = -1$  sinon.

Alors, si il existe une partition maximale  $\underline{e}$ -adaptée  $P$  de  $I_s$  avec  $\text{card}P \leq \lfloor \frac{m}{p} \rfloor + 1$ , le sommet  $s$  est réalisable.

*Remarque 3.19.* La proposition précédente généralise la proposition III 4.5.1 de [2]. Plus précisément, avec la terminologie employée dans cette proposition, le fait que  $(h_i)$  appartienne au lieu critique revient à dire que la partition grossière est maximale, ce qui pour  $m < p$  est équivalent au critère 3.18. Par ailleurs, l'exemple III 4.7 de ce même article prouve que le critère n'est pas nécessaire.

*Démonstration.*

(a) On cherche  $\bar{u} := \bar{u}_s$  sous la forme  $\bar{u} = \prod_{i \in I_s} (t - t_i)^{h_i}$ , en convenant que  $j_s(a_0) = \infty$  et que  $h_i$  désigne un représentant de  $h(i)$  dans  $\mathbb{Z}$ , avec la relation  $\sum_{i \in I_s} h_i = 0$ . Soit  $x := t^{-1}$ , on a alors  $\bar{u} = \prod_{i \in I_s} (1 - t_i x)^{h_i}$ , d'où

$$\frac{d\bar{u}}{\bar{u}} = \sum_{\nu=0}^{+\infty} \left( \sum_{i \in I_s} h_i t_i^{\nu+1} \right) x^\nu dx.$$

La relation  $\text{div}\left(\frac{d\bar{u}_s}{\bar{u}_s}\right) = - \sum_{a \in \text{ar}(s)} (m(a) + 1)[j_s(a)]$  est alors équivalente à  $\text{ord}_\infty \frac{d\bar{u}}{\bar{u}} = m - 1$ , ce qui revient à dire que  $(t_i)$  est un point rationnel sur  $k$  de  $X_{\underline{h}}^*$ . On utilise alors la proposition 3.16.

(b) On cherche  $\bar{u} := \bar{u}_s$  sous la forme

$$\bar{u} = \frac{\prod_{i \in I_s \setminus I'_s} (t - t_i)}{\prod_{i \in I'_s} (t - t_i)^{m(i)}}.$$

On convient que  $j_s(a_0) = \infty$ . Comme ci-dessus, on montre alors que la relation

$$\text{div}(d\bar{u}_s) = - \sum_{a \in \text{ar}(s)} (m(a) + 1)[j_s(a)]$$

revient à dire que  $(t_i)$  est un point rationnel sur  $k$  de  $X_{\underline{e}}^*$ .  $\square$

**Corollaire 3.20.** *Si  $p = 2$ , tout sommet non maximal d'un arbre de Hurwitz est réalisable.*

Ce dernier résultat peut se démontrer aussi directement, en exhibant un point de  $X_{\underline{e}}^*(k)$ , avec  $I$  un ensemble de cardinal pair et  $e_i = 1$  pour tout  $i$  dans  $I$ .



3.6. **Un exemple avec  $p = 5$ .** On donne ici un exemple d'arbre de Hurwitz provenant d'un automorphisme d'ordre 5 d'un disque formel sur un anneau de valuation discrète complet d'inégales caractéristiques  $(0, 5)$ , sans toutefois préciser la métrique. Par souci de concision, sur la figure n'apparaissent que les valeurs non nulles de  $h$  et de  $m$ . Les arêtes qui ne sont pas des feuilles sont indiquées en gras sur la figure.

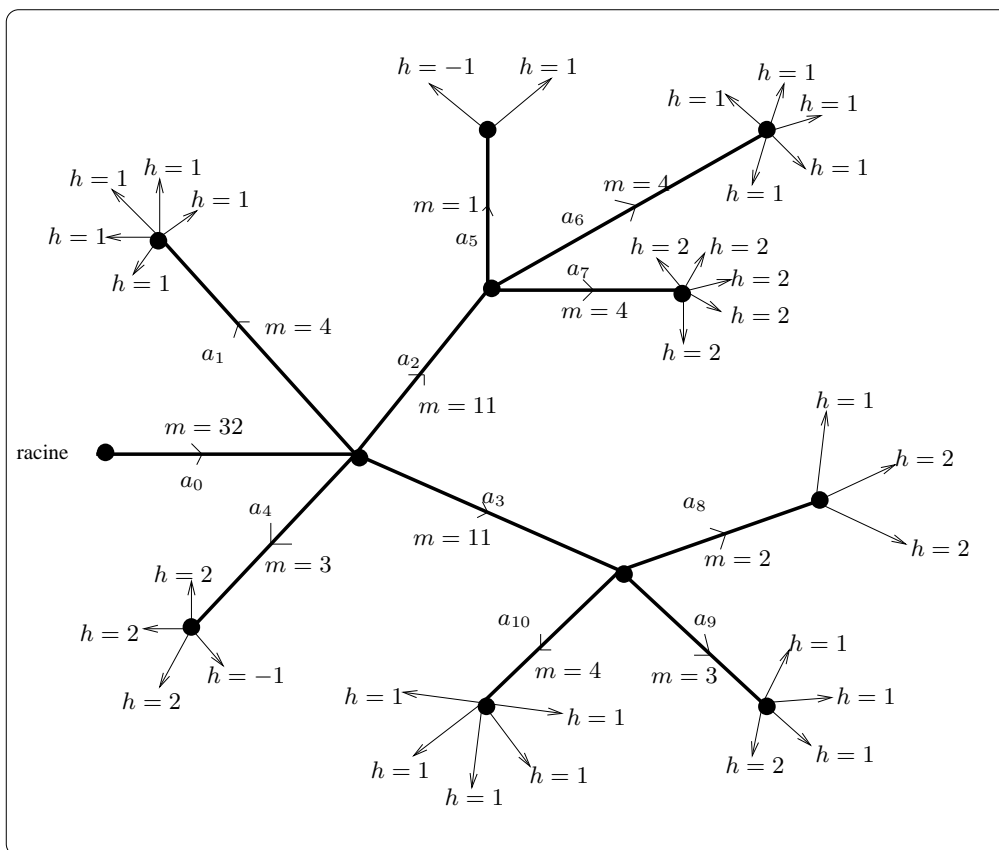


FIG. 4. Un arbre de Hurwitz réalisable pour  $p = 5$

**Proposition 3.21.** Soit  $K_0$  le corps des fractions de  $W(k)[\zeta]$ , où  $k$  est un corps algébriquement clos de caractéristique 5 et  $\zeta$  une racine primitive 5-ième de l'unité. Il existe une extension finie  $K$  de  $K_0$  et une métrique  $\epsilon$  sur l'arbre ci-dessus telle que l'arbre de Hurwitz obtenu provienne d'un automorphisme d'ordre 5 du disque formel sur l'anneau de valuation  $R$  de  $K$ , opérant sans inertie au bord, avec conducteur de Hasse 32.

*Démonstration.* Posons  $K := K_0[\lambda^{\frac{1}{4224}}]$ , où  $\lambda = \zeta - 1$ . Dans ce cas, on peut par exemple prendre la métrique suivante (bien évidemment, c'est très loin d'être la seule possibilité pour une extension de  $K_0$  aussi ramifiée) : Les épaisseurs des

arêtes  $a_i$  sont :  $\epsilon(a_0) := 33$ ,  $\epsilon(a_1) := 792$ ,  $\epsilon(a_2) := 96$ ,  $\epsilon(a_3) := 96$ ,  $\epsilon(a_4) := 1056$ ,  $\epsilon(a_5) := 2112$ ,  $\epsilon(a_6) := 528$ ,  $\epsilon(a_7) := 528$ ,  $\epsilon(a_8) := 1056$ ,  $\epsilon(a_9) := 704$ ,  $\epsilon(a_{10}) := 528$ .

Avec un tel  $K$  et la métrique définie ci-dessus (avec la racine étale), on obtient un arbre de Hurwitz en utilisant la définition de  $m$  et de  $h$  donnée sur le dessin. Il reste à voir que les sommets de valence supérieure à 3 sont réalisables. Pour cela, on applique la proposition 3.18 :

Les sommets multiplicatifs sont tous réalisables, car la partition grossière est maximale dans chaque cas.

Le sommet additif origine de  $a_5$  est réalisable : La partition  $\underline{e}$ -adaptée

$$\{(4, -1, -1, -1, -1), (4, -1, -1, -1, -1), (1, -1)\}$$

de  $\underline{e} := (4, 4, 1, -1, -1, -1, -1, -1, -1, -1, -1, -1)$  est maximale, de cardinal  $3 = \lfloor \frac{11}{5} \rfloor + 1$ .

Le sommet additif origine de  $a_8$  est réalisable : La partition  $\underline{e}$ -adaptée

$$\{(4, -1, -1, -1, -1), (3, -1, -1, -1), (2, -1, -1)\}$$

de  $\underline{e} := (2, 3, 4, -1, -1, -1, -1, -1, -1, -1, -1, -1)$  est maximale, de cardinal  $3 = \lfloor \frac{11}{5} \rfloor + 1$ .

Le sommet additif origine de  $a_2$  est réalisable : La partition  $\underline{e}$ -adaptée

$$\{(1, 1, 3), (4, -1, -1, -1, -1), (-1, -1, -1, -1, -1), \dots, (-1, -1, -1, -1, -1)\}$$

(où  $(-1, -1, -1, -1, -1)$  est répété 5 fois) de  $\underline{e} := (1, 1, 3, 4, 4, -1, \dots, -1)$  (où  $-1$  est répété 29 fois) est maximale, de cardinal  $7 = \lfloor \frac{32}{5} \rfloor + 1$ .

□

#### 4. AUTOMORPHISME D'ORDRE $p$ D'UNE COURONNE FORMELLE

**4.1. Modèle minimal d'une couronne ouverte avec action d'un automorphisme d'ordre  $p$ .** Considérons un  $R$ -automorphisme  $\sigma$  d'ordre  $p$  de la couronne formelle  $\mathcal{C}_e$ ,  $F_\sigma$  l'ensemble de ses points fixes géométriques dans  $\mathcal{C}_{e,K} := \mathcal{C}_e \times_{\text{Spec} R} \text{Spec} K$ , (éventuellement vide). De plus, on supposera tous les points fixes rationnels sur  $K$ . Il existe un unique modèle minimal  $\mathcal{M}(\mathcal{C}_{e,K}, \sigma)$  de  $\mathcal{C}_{e,K}$  pour lequel les spécialisations des points de  $F_\sigma$  sont lisses et distinctes : Si  $F_\sigma$  est vide,  $\mathcal{M}(\mathcal{C}_{e,K}, \sigma)$  est égal à  $\mathcal{C}_e$ . Sinon, il est construit de la façon suivante : Choisissons une coordonnée de Laurent  $Z$  sur  $\mathcal{C}_e$ , on commence par éclater les idéaux  $(\pi^a, Z)$ , où  $a$  décrit l'ensemble des valuations prises par les points de  $F_\sigma$ . On obtient ainsi une chaîne de droites projectives reliée à chaque extrémité à la transformée stricte d'un des deux bords de  $\mathcal{C}_e$ . Si le modèle ainsi obtenu ne sépare pas les spécialisations des points de  $F_\sigma$ , on éclate encore les fibres formelles contenant plus d'un point de  $F_\sigma$  (ce sont des disques formels) pour obtenir le modèle minimal cherché. Sa fibre spéciale est un arbre de droites projectives, relié aux composantes correspondant aux transformées strictes des bords. La chaîne de composantes irréductibles obtenue dans la première étape, menant d'un bord à l'autre,

s'appelle la **chaîne fondamentale**. Les composantes de la chaîne fondamentale seront dites fondamentales.

**4.2. Arbre de Hurwitz associé à un automorphisme d'ordre  $p$  d'une couronne formelle.** Soit  $\Gamma_\sigma^*$  l'arbre dual de la fibre spéciale de  $\mathcal{M}_\sigma := \mathcal{M}(\mathcal{C}_{e,K}, \sigma)$ . Choissant l'un des deux bords  $\eta$  de  $\mathcal{C}_e$ , on oriente  $\Gamma_\sigma^*$  à partir du sommet  $r_\eta$  correspondant. Soit  $\Gamma_\sigma$  l'arbre orienté décrit ci-dessous :

- L'ensemble des sommets de  $\Gamma_\sigma$  est la réunion disjointe de  $\text{som}\Gamma_\sigma^*$  et de  $F_\sigma$ . Le sommet correspondant à un point  $x$  de  $F_\sigma$  sera noté  $s_x$ .
- L'ensemble des arêtes positives de  $\Gamma_\sigma$  est la réunion disjointe de  $\text{ar}^+\Gamma_\sigma^*$  et de  $F_\sigma$ . L'arête positive correspondant à un point  $x$  de  $F_\sigma$  sera noté  $a_x$ .
- Si  $x$  est un point de  $F_\sigma$ , le sommet terminal de  $a_x$  est  $s_x$  et l'origine de  $a_x$  est le sommet de  $\Gamma_\sigma^*$  sur lequel se spécialise  $x$ .

Soit  $s$  un sommet de  $\Gamma_\sigma^*$ ; le point générique de la composante irréductible correspondant à  $s$  définit une valuation discrète  $v_s$  du corps des fractions  $\mathcal{K}_e$  de  $\mathcal{A}_e$ . On note  $\delta(s)$  la valuation de la différentielle de l'extension de corps valués  $(\mathcal{K}_e, v_s)/(\mathcal{K}_e^\sigma, v_s)$ . D'après la proposition 1.6, on a  $0 \leq \delta(s) \leq v_K(p)$ . Un sommet  $s$  de  $\Gamma_\sigma^*$  sera dit multiplicatif si  $\delta(s) = v_K(p)$ , additif si  $0 < \delta(s) < v_K(p)$  et étale si  $\delta(s) = 0$ .

On définit une application  $\epsilon := \epsilon_\sigma$  de  $\text{ar}\Gamma_\sigma$  dans  $\mathbb{N}$  : Si  $a$  est une arête de  $\Gamma_\sigma^*$ , elle correspond à un point double  $z_a$  de  $\mathcal{M}(\mathcal{C}_{e,K}, \sigma)$ , on définit alors  $\epsilon(a)$  comme étant l'épaisseur de  $z_a$  dans  $\mathcal{M}(\mathcal{C}_{e,K}, \sigma)$ . Si maintenant  $a = a_x$ , où  $x$  est un point de  $F_\sigma$ , on définit  $\epsilon(a) := 0$ .

On définit une application  $m := m_\sigma$  de  $\text{ar}\Gamma_\sigma$  dans  $\mathbb{Z}$  et une application  $h := h_\sigma$  de  $\text{ar}\Gamma_\sigma$  dans  $\mathbb{Z}/p\mathbb{Z}$  de la façon suivante : Soit  $a$  une arête de  $\Gamma_\sigma$ . Si  $a$  est une arête de  $\Gamma_\sigma^*$  (resp.  $a = a_x$ , où  $x$  est un point de  $F_\sigma$ ), elle correspond à un point double orienté  $z_a$  de  $\mathcal{M}(\mathcal{C}_{e,K}, \sigma)$  (resp. à la spécialisation de  $x$  dans la fibre spéciale de  $\mathcal{M}(\mathcal{C}_{e,K}, \sigma)$ ). Soit  $\xi_a$  le bord de la couronne formelle (resp. du disque formel)  $\text{Spec}\hat{\mathcal{O}}_{\mathcal{M}_\sigma, z_a}$  qui correspond à l'origine de  $a$ . On notera  $\hat{\mathcal{O}}_a$  le localisé-complété  $(\hat{\mathcal{O}}_{\mathcal{M}_\sigma, z_a})_{\xi_a}^\wedge$ . On note  $\omega_a$  la 1-forme différentielle associée au torseur  $\text{Spec}\hat{\mathcal{O}}_a \rightarrow \text{Spec}\hat{\mathcal{O}}_a^\sigma$  si ce torseur est radiciel en réduction. On pose  $m(a) := -(1 + \text{ord}_{\xi_a}\omega_a)$  et  $h(a)$  égal au résidu de  $\omega_a$  si l'origine de  $a$  est un sommet multiplicatif. Si maintenant l'origine de  $a$  est un sommet additif, on pose  $m(a) = -(1 + \text{ord}_{\xi_a}\omega_a)$  et  $h(a) = 0$ . Si l'origine de  $a$  est un sommet étale,  $m(a)$  est le conducteur de Hasse de l'extension  $\hat{\mathcal{O}}_a \otimes_R k / \hat{\mathcal{O}}_a^\sigma \otimes_R k$ . Enfin,  $m(\bar{a}_x) = -m(a_x)$  et  $h(\bar{a}_x) = -h(a_x)$ .

**Proposition 4.1.**

*La donnée  $\mathcal{H}_\sigma := (r_\eta, \delta(r_\eta), \epsilon_\sigma, m_\sigma, h_\sigma)$  est une donnée de Hurwitz sur  $\Gamma_\sigma$ . On dira que l'arbre de Hurwitz  $(\Gamma_\sigma, \mathcal{H}_\sigma)$  est l'arbre de Hurwitz associé à l'automorphisme  $\sigma$  de la couronne formelle d'épaisseur  $e$ . Par ailleurs,*

– (Loi de variation de la différente) Pour tout sommet  $s$  de  $\Gamma_\sigma$ , on a

$$\delta(s) = d(s) := \delta(r_\eta) + (p-1) \sum_{a \in \text{ar}^+ \Gamma_s} m(a) \epsilon(a),$$

où  $\Gamma_s$  est la chaîne d'origine  $r_\eta$  et de sommet terminal  $s$ .

- Le cardinal de  $F_\sigma$  est égal à  $m(a_\eta) + m(a_{\eta'})$ , où  $a_\eta$  (resp.  $a_{\eta'}$ ) est l'unique arête d'origine  $r_\eta$  (resp.  $r_{\eta'}$ ).
- Les sommets de valence supérieure ou égale à 3 sont réalisables.
- Un sommet maximal est soit le sommet terminal d'une feuille, soit  $r_{\eta'}$ , où  $\eta'$  est le bord de la couronne opposé à  $\eta$  ( $r_{\eta'}$  est le sommet terminal de la chaîne fondamentale).
- Si  $a$  est une feuille de  $(\Gamma_\sigma, \mathcal{H}_\sigma)$ , alors l'origine de  $a$  est soit un sommet maximal de  $\Gamma_\sigma^*$ , soit un sommet fondamental.
- Il existe au plus deux sommets fondamentaux qui sont multiplicatifs. De plus, s'il y en a deux, il existe une arête qui les relie.

*Démonstration.* Le fait que  $\mathcal{H}_\sigma$  soit une donnée de Hurwitz se montre exactement de la même façon que pour le disque. En particulier, on prouve de même que les sommets de valence supérieure ou égale à 3 sont réalisables. La loi de la variation de la différente résulte de la proposition 1.10.

Soit  $s$  un sommet maximal. Supposons  $s$  non fondamental, on note alors  $a$  l'unique arête de sommet origine fondamental et de sommet terminal non fondamental qui apparaît dans la chaîne positive  $\Gamma_s$ . L'arbre de Hurwitz  $(\Gamma_\sigma[a], \mathcal{H}_\sigma[a])$  provient alors d'un automorphisme d'ordre  $p$  du disque formel, on sait alors que  $s$  est le sommet terminal d'une feuille de  $(\Gamma_\sigma[a], \mathcal{H}_\sigma[a])$ , donc de  $(\Gamma_\sigma, \mathcal{H}_\sigma)$ . Si maintenant  $s$  est fondamental, comme il est maximal il doit être égal à  $r_{\eta'}$ .

Montrons à présent la formule donnant le cardinal de  $F_\sigma$ , c'est-à-dire le nombre de feuilles de l'arbre de Hurwitz  $(\Gamma_\sigma, \mathcal{H}_\sigma)$ . Cela peut se voir par récurrence sur le nombre de sommets fondamentaux :

Si il n'y a que deux sommets fondamentaux,  $F_\sigma$  est vide, et la proposition 1.10 montre la formule.

Soit  $N \geq 3$ , supposons la formule démontrée pour les automorphismes d'ordre  $p$  de couronnes formelles dont l'arbre de Hurwitz possède  $N-1$  sommets fondamentaux. Soit  $\sigma$  un automorphisme d'ordre  $p$  d'une couronne formelle  $\mathcal{C}$  d'épaisseur  $e$  dont l'arbre de Hurwitz possède  $N$  sommets fondamentaux. Alors, si  $s$  est le sommet fondamental sommet terminal de l'arête  $a_\eta$  et  $a$  l'unique arête fondamentale d'origine  $s$ , l'arbre de Hurwitz  $(\Gamma_\sigma[a], \mathcal{H}_\sigma[a])$  provient de l'automorphisme  $\sigma$  restreint à la couronne formelle  $\mathcal{C}[a]$  de fibre générique formée des points  $x$  tels que  $\epsilon(a) < v_K(Z(x)) < e$ , où  $Z$  est une coordonnée de Laurent sur  $\mathcal{C}$ . Le nombre de feuilles de  $(\Gamma_\sigma[a], \mathcal{H}_\sigma[a])$  est alors  $m(a) + m(a_{\eta'})$ . Si  $b$  est une arête non fondamentale de  $\Gamma_\sigma$  d'origine  $s$ , le nombre de feuilles de  $(\Gamma_\sigma[b], \mathcal{H}_\sigma[b])$ , qui provient d'un

automorphisme de disque formel, est égal à  $m(b) + 1$ . Donc, si  $I$  désigne l'ensemble des arêtes non fondamentales d'origine  $s$ , le cardinal de  $F_\sigma$  est, d'après  $H[3]$  :

$$\begin{aligned} \sum_{b \in I} (m(b) + 1) + m(a) + m(a_{\eta'}) &= -(m(\bar{a}_\eta) + 1) + 2 - 1 + m(a_{\eta'}) \\ &= m(a_\eta) + m(a_{\eta'}) \end{aligned}$$

Il reste à voir la dernière assertion. Pour  $s$  un sommet fondamental distinct de  $r_\eta$  et  $r_{\eta'}$ , soit  $a_1$  l'arête fondamentale de sommet terminal  $s$  et  $a_2$  l'arête fondamentale d'origine  $s$ . Alors la pente de la variation de la différente le long de la chaîne fondamentale est égale à  $m(a_1)(p-1)$  avant le sommet  $s$  et à  $m(a_2)(p-1)$  après. Donc, la variation de la pente au passage de  $s$  est égale, d'après  $H[3]$ , à  $-\sum_{a \in \text{ar}(s), a \neq a_1, a_2} (m(a) + 1) < 0$ , car pour une arête  $a$  non fondamentale d'origine  $s$ ,  $(\Gamma_\sigma[a], \mathcal{H}_\sigma[a])$  provient d'un automorphisme d'ordre  $p$  du disque formel et donc  $m(a) \geq 0$ . La variation de la différente le long de la chaîne fondamentale est donc une fonction continue, linéaire par morceaux et concave (i.e. la pente diminue). Supposons qu'il existe un sommet fondamental multiplicatif, et prenons  $s$  le plus petit d'entre eux. Alors, soit  $s$  est maximal, et alors c'est le seul sommet multiplicatif fondamental, soit il existe une (unique) arête fondamentale  $a$  d'origine  $s$  et alors  $m(a) \geq 0$ . Si  $m(a) = 0$ , le sommet terminal de  $a$  est multiplicatif, et ensuite la différente doit chuter, donc les éventuels sommets suivants ne sont pas multiplicatifs. Sinon,  $s$  est le seul sommet multiplicatif fondamental.  $\square$

**4.3. Théorème de réalisation.** Comme pour le cas du disque, on peut donner une caractérisation des arbres de Hurwitz provenant d'un automorphisme d'ordre  $p$  d'une couronne formelle (ne permutant pas les bords). Nous ne donnons pas une preuve complète de ce théorème, au sens où le procédé de recollement utilisé est juste esquissé. Nous renvoyons le lecteur au cas du disque pour des détails.

**Théorème 4.2.**

*Soit  $\Gamma$  un arbre fini, connexe et  $\mathcal{H} := (r_0, d_0, \epsilon, m, h)$  une donnée de Hurwitz sur  $\Gamma$ . Alors  $(\Gamma, \mathcal{H})$  provient d'un automorphisme  $\sigma$  d'ordre  $p$  d'une couronne formelle (ne permutant pas les bords) si et seulement si il vérifie les conditions  $C[i]$ ,  $1 \leq i \leq 4$  ci-dessous.*

$C[1]$  *La racine  $r_0$  est de valence 1*

$C[2]$  *Il existe un unique sommet maximal  $r'_0$  de  $\Gamma_\sigma$  tel que l'unique arête  $a$  d'origine  $r'_0$  vérifie  $\epsilon(a) \neq 0$ . On appelle alors la chaîne reliant  $r_0$  à  $r'_0$  la chaîne fondamentale, et on la notera  $\Gamma_0$ . Les sommets (resp. arêtes) de la chaîne fondamentale seront dits fondamentaux (resp. fondamentales).*

$C[3]$  *Si  $s$  est un sommet maximal de  $\Gamma_\sigma$  distinct de  $r'_0$ , l'unique arête de sommet terminal  $s$  est une feuille.*

$C[4]$  *Tout sommet de valence supérieure ou égale à 3 est réalisable.*

*De plus, l'épaisseur de la couronne formelle est alors la somme  $\sum_{a \in \text{ar}^+(\Gamma_0)} \epsilon(a)$  des longueurs des arêtes fondamentales..*

*Démonstration.*

Soit  $\sigma$  un automorphisme d'une couronne formelle, ne permutant pas les bords.  $C[1]$  résulte de la construction du modèle minimal. Les assertions restantes ont déjà été vues.

Montrons maintenant la réciproque. On suppose donc que  $(\Gamma, \mathcal{H})$  vérifie les propriétés  $C[i]$ ,  $1 \leq i \leq 4$ . On voit alors immédiatement le

**Lemme 4.3.** *Si  $s$  est un sommet fondamental et  $a$  une arête non fondamentale d'origine  $s$ , l'arbre  $(\Gamma[a], \mathcal{H}[a])$  vérifie les propriétés  $D[i]$ ,  $1 \leq i \leq 3$  du théorème 3.5.*

On procède alors par récurrence sur le nombre  $N$  de sommets de la chaîne fondamentale.

Supposons d'abord  $N = 2$ . L'arbre de Hurwitz est alors réduit à sa chaîne fondamentale, d'après  $C[1]$  et  $C[2]$  ( $r'_0$  est maximal). Notons  $a$  l'unique arête positive de  $\Gamma$ , et  $e := \epsilon(a)$ , qui est non nul d'après  $C[2]$ . Si la racine  $r_0$  est additive ou étale, alors  $m(a)$  est premier à  $p$ . Soit  $n$  l'entier déterminé par  $v_K(p) = d_0 + n(p-1)$ ,  $Z$  une coordonnée de Laurent sur  $\mathcal{C}_e$ ; l'automorphisme  $\sigma$  de  $\mathcal{C}_e$  donné par  $\sigma(Z) = \zeta^{-\frac{1}{m(a)}} Z (1 + \pi^n Z^{m(a)})^{-\frac{1}{m(a)}}$  a alors un arbre de Hurwitz équivalent à  $(\Gamma, \mathcal{H})$ . Si maintenant  $r_0$  est multiplicatif,  $h(a) \not\equiv 0 \pmod{p}$ . L'automorphisme  $\sigma$  de  $\mathcal{C}_e$  donné par  $\sigma(Z) = \zeta^{-\frac{1}{h(a)}} Z$  a alors un arbre de Hurwitz équivalent à  $(\Gamma, \mathcal{H})$ .

Supposons maintenant  $N \geq 3$ , et le théorème démontré pour  $N - 1$ . Soit  $s$  le sommet fondamental qui est l'origine de l'unique arête  $a'$  de sommet terminal  $r'_0$ . Soit  $\Gamma_1$  le sous-arbre de  $\Gamma$  obtenu en retirant les arêtes positives d'origine  $s$ , et  $\mathcal{H}_1$  la donnée de Hurwitz restreinte de  $\mathcal{H}$  sur  $\Gamma_1$ . Alors, la chaîne fondamentale de  $(\Gamma_1, \mathcal{H}_1)$  possède  $N - 1$  sommets, et  $(\Gamma_1, \mathcal{H}_1)$  vérifie les conditions  $C[i]$ , pour  $1 \leq i \leq 4$ . Il existe alors un automorphisme  $\sigma_1$  d'ordre  $p$  de la couronne formelle d'épaisseur  $e_1 := \sum_{a \in \text{ar}^+(\Gamma_0), a \neq a'} \epsilon(a) = e - \epsilon(a')$ . dont l'arbre de Hurwitz est équivalent à  $(\Gamma_1, \mathcal{H}_1)$ .

Par ailleurs, soit  $\Gamma_2$  le sous-arbre de  $\Gamma$  de sommets  $s$  et  $r'_0$  et dont l'unique arête est  $a$ , et  $\mathcal{H}_2$  la donnée de Hurwitz restreinte de  $\mathcal{H}$  sur  $\Gamma_2$ . D'après le cas  $N = 2$ , il existe un automorphisme  $\sigma_2$  d'ordre  $p$  de la couronne formelle d'épaisseur  $e_2 = \epsilon(a')$  dont l'arbre de Hurwitz est équivalent à  $(\Gamma_2, \mathcal{H}_2)$ . Par hypothèse,  $s$  est réalisable. Soit  $(u_s, j_s)$  vérifiant les conditions de  $[M]$  si  $s$  est multiplicatif, et celles de  $[A]$  si  $s$  est additif (Le sommet  $s$  ne peut pas être étale). On construit à l'aide de  $u_s$  et du lemme 4.3 un automorphisme d'ordre  $p$  de  $R\{Z, Z^{-1}\}$ , et on peut alors recoller d'un côté la couronne d'épaisseur  $e_1$  munie de  $\sigma_1$  et de l'autre la couronne d'épaisseur  $e_2$ , munie de l'automorphisme  $\sigma_2$ . On obtient alors une

couronne formelle d'épaisseur  $e$  munie d'un automorphisme  $\sigma$  dont l'arbre de Hurwitz est équivalent à  $(\Gamma, \mathcal{H})$ .  $\square$

**4.4. Un critère suffisant de réalisabilité.** Nous ne donnons ici que le critère pour un sommet fondamental  $s$  pour lequel les deux arêtes  $a_1$  et  $a_2$  fondamentales d'origine  $s$  vérifient  $m_1 := -m(a_1) > 0$  et  $m_2 := -m(a_2) > 0$ . Les autres sommets peuvent se traiter par le critère 3.18. La preuve est très similaire à celle de ce dernier, et est laissée au lecteur à titre d'exercice.

**Proposition 4.4.**

(a) *Supposons que  $s$  est multiplicatif. Notons  $I_s := \text{ar}(s) \setminus \{a_1, a_2\}$  et  $\underline{h} := (h(a))_{a \in I_s}$ . Alors, si il existe une partition maximale  $\underline{h}$ -adaptée  $P$  de  $I_s$  avec  $\text{card}(P) \leq \lfloor \frac{m_1}{p} \rfloor + \lfloor \frac{m_2}{p} \rfloor + 1$ , le sommet  $s$  est réalisable.*

(b) *Supposons que  $s$  est additif. Notons  $I_s$  la réunion disjointe de l'ensemble fini  $I'_s := \text{ar}(s) \setminus \{a_1, a_2\}$  et d'un ensemble fini à  $m_1 + m_2 - \text{card}(I'_s)$  éléments, et  $\underline{e} = (e_i)_{i \in I_s}$  la famille définie par  $e_i := m(i)$  si  $i \in I'_s$  et  $e_i = -1$  sinon. Alors, si il existe une partition maximale  $\underline{e}$ -adaptée  $P$  de  $I_s$  avec  $\text{card}(P) \leq \lfloor \frac{m_1}{p} \rfloor + \lfloor \frac{m_2}{p} \rfloor + 1$ , le sommet  $s$  est réalisable.*

**4.5. Structure des automorphismes d'ordre  $p$  à petits conducteurs.** Dans ce qui suit,  $\sigma$  désigne un automorphisme d'ordre  $p$  de  $\mathcal{C}_e$ , qui ne permute pas les bords, opérant sans inertie aux bords. On fera l'hypothèse ici que  $m_1 < p$  et  $m_2 < p$ , où  $m_1 + 1$  et  $m_2 + 1$  désignent les conducteurs aux bords  $\eta_1$  et  $\eta_2$ .

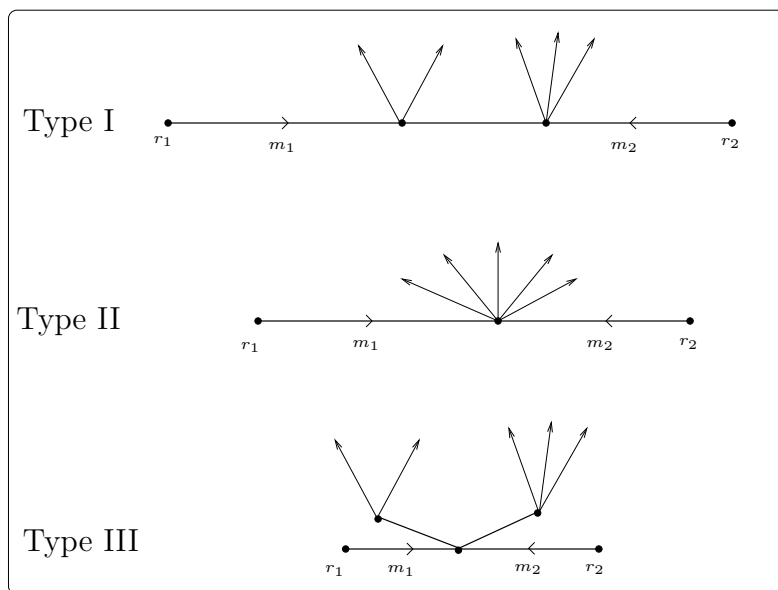


FIG. 5. Les trois types d'arbre de Hurwitz de couronnes à petits conducteurs

**Théorème 4.5.** *Soit  $\sigma$  un automorphisme de  $\mathcal{C}_e$  d'ordre  $p$ , ne permutant pas les bords, qui opère sans inertie aux bords. Soit  $m_i$  le conducteurs au bord  $\eta_i$ ,  $i = 1, 2$ . On note  $r_i$  le sommet de l'arbre de Hurwitz  $(\Gamma_\sigma, \mathcal{H}_\sigma)$  qui correspond au bord  $\eta_i$ . Si  $m_1 < p$  et  $m_2 < p$ , la chaîne fondamentale de  $(\Gamma_\sigma, \mathcal{H}_\sigma)$  contient au plus deux sommets en dehors de  $r_1, r_2$ . De plus, s'il y en a deux, ils sont multiplicatifs. Autrement dit, l'arbre de Hurwitz  $(\Gamma_\sigma, \mathcal{H}_\sigma)$  (avec pour fixer les idées la racine  $r_1$ ) est de l'un des trois types ci-dessous :*

**Type I :**  $e > (\frac{1}{m_1} + \frac{1}{m_2})v_K(\zeta - 1)$

*Si  $e > (\frac{1}{m_1} + \frac{1}{m_2})v_K(\lambda)$ , la chaîne fondamentale de l'arbre de Hurwitz  $(\Gamma_\sigma, \mathcal{H}_\sigma)$  est formée de la racine  $r_1$ , origine d'une arête  $a_1$  de sommet terminal multiplicatif  $s_1$ , lui-même origine d'une arête dont le sommet terminal  $s_2$  est multiplicatif et enfin du sommet  $r_2$  (sommet terminal de  $a_2$ ). De plus, pour  $i = 1, 2$ , il y a exactement  $m_i$  feuilles d'origine  $s_i$ . Enfin,  $\epsilon(a_i) = \frac{1}{m_i}v_K(\lambda)$ .*

**Type II :**  $e = (\frac{1}{m_1} + \frac{1}{m_2})v_K(\zeta - 1)$

*Si  $e = (\frac{1}{m_1} + \frac{1}{m_2})v_K(\lambda)$ , la chaîne fondamentale de l'arbre de Hurwitz  $(\Gamma_\sigma, \mathcal{H}_\sigma)$  est formée d'un sommet multiplicatif  $s$ , relié à  $r_i$  par une arête  $a_i$  au sommet  $r_i$ , pour  $i = 1, 2$ . De plus  $s$  est le sommet d'exactly  $m_1 + m_2$  feuilles. Enfin,  $\epsilon(a_i) = \frac{1}{m_i}v_K(\lambda)$ .*

**Type III :**  $e < (\frac{1}{m_1} + \frac{1}{m_2})v_K(\zeta - 1)$

*Si  $e < (\frac{1}{m_1} + \frac{1}{m_2})v_K(\lambda)$ , la chaîne fondamentale de l'arbre de Hurwitz  $(\Gamma_\sigma, \mathcal{H}_\sigma)$  est formée d'un sommet additif  $s$ , relié à  $r_i$  par une arête  $a_i$  au sommet  $r_i$ , pour  $i = 1, 2$ . Le nombre d'arêtes non fondamentales d'origine  $s$  est inférieur à  $\inf(m_1, m_2)$ . Si  $a$  est une telle arête, et si  $m(a) < p$ , les arêtes positives d'origine le sommet terminal de  $a$  sont des feuilles. Il y a au plus une arête  $a$  d'origine  $s$  pour laquelle  $m(a) > p$ . Enfin,  $\epsilon(a_i) < \frac{1}{m_i}v_K(\lambda)$  pour  $i = 1, 2$ .*

*Démonstration.*

L'automorphisme  $\sigma$  possède  $m_1 + m_2$  points fixes. Ainsi, la chaîne fondamentale est formée d'au moins trois sommets. Soit  $s$  un sommet fondamental différent de  $r_1$  et  $r_2$ , on note  $a_1$  l'unique arête fondamentale positive d'origine le sommet terminal  $s$  et  $a_2$  l'unique arête fondamentale positive d'origine  $s$ . Supposons  $m(a_1) > 0$  et  $m(a_2) > 0$ . En particulier,  $s$  est un sommet additif réalisable, on prend les notations de la définition 2.3, [A]. Soit  $\omega = d\bar{u}_s$ . On peut supposer  $j_s(\bar{a}_1) = +\infty$  et  $t_{a_2} = 0$ . Comme  $\text{ord}_\infty d\bar{u}_s = m(a_1) > 0$ , quitte à ajouter une puissance  $p$ -ième, on peut de plus supposer  $\bar{u}_s$  de la forme

$$\bar{u}_s = \frac{P(t)}{\prod_{a \in \text{ar}^+(s)} (t - t_a)^{m(a)}}$$



avec  $\deg(P) = \sum_{a \in \text{ar}^+(s)} m(a)$ , et  $P(t_a) \neq 0$  pour  $a$  dans  $\text{ar}^+(s)$ . Prenant la coordonnée  $x := t^{-1}$ , en notant  $Q$  le polynôme  $Q(x) := x^{\sum_{a \in \text{ar}^+(s)} m(a)} P(\frac{1}{x})$ , on a alors

$$\bar{u}_s = \frac{Q(x)}{\prod_{a \in \text{ar}^+(s)} (1 - t_a x)^{m(a)}}.$$

Comme par ailleurs  $1 \leq 1 + \text{ord}_\infty \omega = m(a_1) \leq m_1 < p$ , on a le développement en série de Laurent

$$\bar{u}_s = 1 + \alpha x^{m(a_1)} \pmod{x^{m(a_1)+1}},$$

où  $\alpha$  est non nul. Mais alors,

$$Q(x) = (1 + \alpha x^{m(a_1)} + x^{m(a_1)+1} l(x)) \prod_{a \in \text{ar}^+(s)} (1 - t_a x)^{m(a)}.$$

On a  $(\sum_{a \in \text{ar}^+(s)} m(a)) - (m(a_1)) \leq \sum_{a \in \text{ar}^+(s)} m(a) - m(a_1) = 2 - \text{card}(\text{ar}(s)) < 0$ . Le coefficient de  $x^{m(a_1)}$  dans  $Q(x)$  est donc  $\alpha \neq 0$ . Or, le degré de  $Q$  est égal à  $\sum_{a \in \text{ar}^+(s)} m(a)$ , on obtient donc une contradiction. On ne peut pas avoir  $m(a_1) > 0$  et  $m(a_2) > 0$ . Il existe donc au plus une arête fondamentale positive  $a$  telle que  $m(a) > 0$ , et c'est donc forcément l'arête d'origine  $r_1$ . De même, la seule arête fondamentale positive  $a$  telle que  $m(a) < 0$  est l'arête de sommet terminal  $r_2$ . On voit qu'il y a trois cas : Notons  $s_1$  le sommet terminal de l'arête  $a_1$  d'origine  $r_1$ , et  $a_0$  l'arête fondamentale positive d'origine  $s_1$ .

Si  $m(a_0) = 0$ ,  $s_1$  est multiplicatif, et le sommet terminal  $s_2$  de  $a$  est multiplicatif. On tombe sur le type I. On a  $m_1 = m(a_1)$ , les arêtes positives d'origine  $s$  distinctes de  $a$  sont des feuilles, et la relation  $\sum_{a \in \text{ar}(s)} (m(a) + 1) = 2$  montre qu'il y en a  $m_1$ . De même, il y a  $m_2$  feuilles d'origine  $s_2$  (le sommet terminal de  $a_0$ ). Le calcul de  $\epsilon(a_i)$  se fait en utilisant la loi de variation de la différence. On a alors  $e > \epsilon(a_1) + \epsilon(a_2) = (\frac{1}{m_1} + \frac{1}{m_2})v_K(\lambda)$ .

Supposons à présent  $m(a_0) < 0$  et  $s_1$  multiplicatif. Alors le sommet terminal de  $a_0$  est  $r_2$ . On tombe sur le type II. On voit alors que les sommets non fondamentaux d'origine  $s_1$  sont des feuilles, et la relation  $\sum_{a \in \text{ar}(s)} (m(a) + 1) = 2$  montre qu'il y en a  $m_1 + m_2$ . On voit alors facilement que  $e = \epsilon(a_1) + \epsilon(a_2) = (\frac{1}{m_1} + \frac{1}{m_2})v_K(\lambda)$ .

Supposons enfin  $m(a_0) < 0$  (i.e.  $m(a_0) = -m_2$ ) et  $s_1$  additif. Soit  $q$  le nombre d'arêtes non fondamentales d'origine  $s = s_1$ . On peut alors supposer, avec les notations de la proposition 4.4,

$$\bar{u}_s = \frac{P(t)}{\prod_{a \in I'_s} (t - t_a)^{m(a)}}$$

où  $\deg(P) = \sum_{a \in I'_s} m(a)$ ,  $j_s(\bar{a}_1) = \infty$ ,  $j_s(a_2) = 0$ ,  $j_s(a) = t_a \neq 0$  pour  $a$  dans  $I'_s$ ,  $P(0) \prod_{a \in I'_s} P(t_a) \neq 0$ , et  $\text{ord}_\infty d\bar{u}_s = m_1 - 1$ ,  $\text{ord}_0 d\bar{u}_s = m_2 - 1$ . On a  $\bar{u}_s = 1 + \alpha t^{m_2}$

mod  $t^{m_2+1}$ , où  $\alpha \neq 0$ . Ainsi,

$$P(t) = (1 + \alpha t^{m_2} + t^{m_2+1}l(x)) \prod_{a \in I'_s} (1 - t_a^{-1}t)^{m(a)}.$$

Or,  $\deg(P) = \sum_{a \in I'_s} m(a) = m_1 + m_2 - q$ . Si  $m_1 < q$ , on a  $\deg(P) < m_2$  et on obtient alors une contradiction en remarquant que le coefficient de  $t^{m_2}$  doit être  $\alpha$ . Donc  $q \leq m_1$ , et en regardant également le développement de  $\bar{u}_s$  en  $\infty$ , on voit que  $q \leq m_2$ . Le fait qu'il y ait au plus une arête non fondamentale  $a$  d'origine  $s$  pour laquelle  $m(a) > p$  résulte de  $m_1 + m_2 < 2p$ . Si  $a$  est une arête non fondamentale d'origine  $s$  pour laquelle  $m(a) < p$ , toute arête d'origine  $t_{\Gamma_\sigma}(a)$  est une feuille d'après le théorème III 3.1 de [2]. Enfin, la loi de variation de la différentielle entraîne que  $e < (\frac{1}{m_1} + \frac{1}{m_2})v_K(\lambda)$ . □

### RÉFÉRENCES

- [1] Green B., Matignon M. : Lifting of Galois covers of smooth curves. *Compositio Math.* 113 (n° 3), 237-272 (1998)
- [2] Green B., Matignon M. : Order  $p$  automorphisms of the open disc of a  $p$ -adic field. *J. Amer. Math. Soc.* 12 (n° 1), 269-303 (1999)
- [3] Henrio Y. : Arbres de Hurwitz et automorphismes d'ordre  $p$  des disques et des couronnes  $p$ -adiques formels. Thèse, université Bordeaux I (1999)
- [4] Henrio Y. : Automorphismes d'ordre  $p$  des couronnes  $p$ -adiques ouvertes. *C. R. Acad. Sci Paris*, t. 329, Série I, 47-50 (1999)
- [5] Henrio Y. : Relèvement galoisien des revêtements de courbes nodales, soumis pour publication.
- [6] Oort F., Sekiguchi T., Suwa N. : On the deformation of Artin-Schreier to Kummer. *Ann. scient. Ec. Norm. Sup.* 22, 345-375 (1989)